

УДК 517.956.225+517.956.8+517.956.227

РАЗНЫЕ ТИПЫ ЛОКАЛИЗАЦИИ СОБСТВЕННЫХ ФУНКЦИЙ СКАЛЯРНЫХ СМЕШАННЫХ КРАЕВЫХ ЗАДАЧ В ТОНКИХ МНОГОГРАННИКАХ

С.А. НАЗАРОВ

Аннотация. Построена асимптотика собственных пар смешанной краевой задачи для оператора Лапласа в тонком многограннике с параллельными сближенными основаниями и скошенными узкими боковыми гранями. На основаниях назначены условия Дирихле, а на боковых гранях — условия Дирихле или Неймана, распределение которых по граням, а также углы наклона последних оказывают существенное влияние на поведение собственных функций при истончении области. Обнаружены ситуации, в которых собственные функции распределены вдоль всего многогранника и локализованы около его боковых граней или вершин. Результаты основаны на анализе спектра (точка отсечки, изолированные собственные числа, пороговые резонансы и пр.) вспомогательных задач в полуполосе и четверти слоя со скошенными торцом и боковыми сторонами соответственно. Сформулированы открытые вопросы, относящиеся как к спектральному, так и асимптотическому анализу.

Ключевые слова: оператор Лапласа, смешанная краевая задача в тонком многограннике, асимптотика собственных чисел, локализация собственных функций, существенный и дискретный спектры задач в бесконечных областях

Mathematics Subject Classification: 35J05

1. ВВЕДЕНИЕ

1.1. Прелюдия. Собственные функции задачи Дирихле для оператора Лапласа в «сплюсненном пирамидальном» многограннике локализуются около вершины, наиболее удалённой от плоского основания (рис. 1). Этот результат, полученный в статье [1], приоткрывает к результатам работ [2]–[6], относящимся к тонким областям переменной толщины. В данной работе исследуются собственные функции смешанной краевой задачи в тонких многогранниках с параллельными основаниями и скошенными узкими боковыми гранями (рис. 2, а, и 3, а). На основаниях назначены условия Дирихле, а на боковых гранях — условия Дирихле или Неймана, в зависимости от расположения которых реализуется тот или иной способ локализации собственных функций, а также её отсутствие. Именно, будут указаны ситуации, в которых несколько первых собственных функций сконцентрированы соответственно около краёв или углов тонкой пластины, а также распределены по всей пластине. Отсутствие концентрации собственных функций или её характеристики определяются свойствами спектров (наличие изолированных собственных чисел и пороговых резонансов) модельных задачах о заостренной полубесконечной полосе (далее полуполосе) или четверти слоя с наклонной боковой поверхностью, рассмотренными в §2. Если

S.A. NAZAROV, DIFFERENT TYPES OF LOCALIZATION FOR EIGENFUNCTIONS OF SCALAR MIXED BOUNDARY VALUE PROBLEMS IN THIN POLYHEDRA.

© НАЗАРОВ С.А. 2025.

Исследование С.А. Назарова выполнено при финансовой поддержке РФФИ в рамках научного проекта № 22-11-00046.

Поступила 5 января 2024 г.

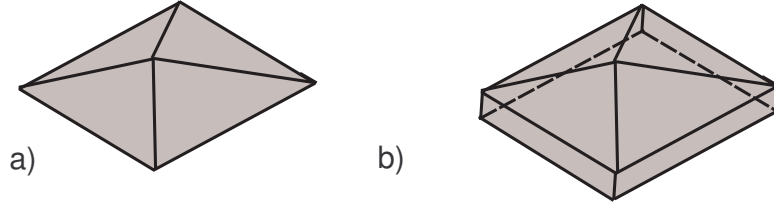


Рис. 1. Пирамидальные многогранники

плоская задача уже была изучена в полном объёме (см. [7]–[9] и др.), то для пространственной задачи известные результаты фрагментарные (см. [10]–[12]), и далее для полноты картины выбирается геометрическая форма (рис. 3), которая нуждается в независимом исследовании и, в частности, позволяет указать новые приёмы анализа дискретного спектра.

Выбор конкретных тонких многогранников обусловлен возможностью составления из них тонкостенных короба и куба¹ (рис. 2, б, и 4, б). Следует подчеркнуть, что тонкостенные конструкции встречаются абсолютно повсюду, однако полноценных исследований их не проводилось. Скалярные задачи Неймана весьма просты, а векторные задачи теории упругости чрезвычайно сложны. Рассмотренные в статье [12] и в данной работе скалярная задачи Дирихле занимают промежуточное положение. Отметим, что эффект локализации в конструкциях из [12] в первую очередь достигался путём вариации толщин отдельных элементов (перегородок), но коробу (рис. 2, б) он свойственен при одинаковых толщинах всех стенок и возникает благодаря наклону стенок с условиями Неймана во вспомогательном многограннике (рис. 2, а), причём удалось обнаружить и, что важно, строго обосновать эффект рёберной локализации собственных функций (он лишь обсуждался [12]). Наконец, результаты [10], [11] позволяют по изложенной в §5 схеме проверить, что первые восемь собственных функций задачи Дирихле на тонкостенном кубе (рис. 3) концентрируются около его вершин.

1.2. Постановка первой группы задач. Спектральная смешанная краевая задача

$$-\Delta_x u^\varepsilon(x) = \lambda^\varepsilon u^\varepsilon(x), \quad x \in \Omega^\varepsilon, \quad (1.1)$$

$$u^\varepsilon(x) = 0, \quad x \in \Gamma_D^\varepsilon, \quad (1.2)$$

$$\partial_{\nu(x)} u^\varepsilon(x) = 0, \quad x \in \Gamma_N^\varepsilon := \partial\Omega^\varepsilon \setminus \overline{\Gamma_D^\varepsilon}, \quad (1.3)$$

поставлена в тонком (ε — малый положительный параметр) многограннике (рис. 1, а)

$$\Omega^\varepsilon = \{x = (y, z) : y_1 = x_1 \in (-1, 1), |y_2| = |x_2| < 1 - z, z = x_3 \in (0, \varepsilon)\}. \quad (1.4)$$

При этом $\nabla_x = \text{grad}$, $\Delta_x = \nabla_x \cdot \nabla_x$ — оператор Лапласа, $\partial_\nu = \partial_{\nu(x)}$ — производная вдоль внешней нормали и

$$\Gamma_N^\varepsilon = \{x \in \partial\Omega^\varepsilon : z \in (0, \varepsilon)\} \quad (1.5)$$

или

$$\Gamma_D^\varepsilon = \{x \in \partial\Omega^\varepsilon : |y_1| < 1\}. \quad (1.6)$$

В первом случае условия Неймана назначены на всей боковой поверхности многогранника Ω^ε , а во втором — только на двух узких гранях

$$\Gamma_{\# \pm}^\varepsilon = \{x \in \Omega^\varepsilon : y_1 = \pm 1, |y_2| < 1, z \in (0, \varepsilon)\}, \quad (1.7)$$

перпендикулярных оси абсцисс. Нижним основанием многогранника (1.4) служит квадрат $\square_1 = (-1, 1)^2$.

¹С некоторой натяжкой их можно интерпретировать как фрагменты пространственных квантовых волноводов; ср. монографию [13].

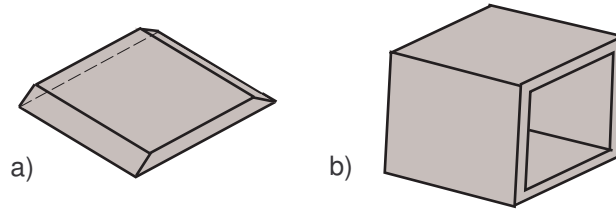


РИС. 2. Тонкий многогранник (а) и сооружённый из четырёх многогранников короб (b)

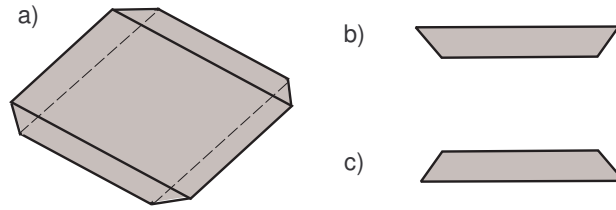


РИС. 3. Тонкий многогранник, у которого боковые грани скошены по-разному (а), и его сечения, перпендикулярные осям ординат (b) и абсцисс (с)

1.3. Первая группа асимптотических результатов. Одна из целей работы — построить асимптотику при $\varepsilon \rightarrow +0$ собственных чисел

$$0 < \lambda_1^\varepsilon < \lambda_2^\varepsilon \leq \lambda_3^\varepsilon \leq \dots \leq \lambda_m^\varepsilon \leq \dots \rightarrow +\infty \quad (1.8)$$

и соответствующих собственных функций $u_1^\varepsilon, u_2^\varepsilon, u_3^\varepsilon, \dots, u_m^\varepsilon, \dots \in H_0^1(\Omega^\varepsilon; \Gamma_D^\varepsilon)$ задачи (1.1)–(1.3), вариационная формулировка которой апеллирует к интегральному тождеству [14], [15]

$$(\nabla_x u^\varepsilon, \nabla_x \psi^\varepsilon)_{\Omega^\varepsilon} = \lambda^\varepsilon (u^\varepsilon, \psi^\varepsilon)_{\Omega^\varepsilon} \quad \forall \psi^\varepsilon \in H_0^1(\Omega^\varepsilon; \Gamma_D^\varepsilon). \quad (1.9)$$

Здесь $(\cdot, \cdot)_{\Omega^\varepsilon}$ — естественное скалярное произведение в пространстве Лебега $L^2(\Omega^\varepsilon)$, скалярном или векторном, а $H_0^1(\Omega^\varepsilon; \Gamma_D^\varepsilon)$ — пространство Соболева функций, удовлетворяющих условию Дирихле (1.2).

Пары $\{\lambda^\varepsilon; u_m^\varepsilon\}$ называем собственными парами задачи (1.1)–(1.3). Первое собственное число простое, а соответствующую собственную функцию можно зафиксировать положительной в $\Omega^\varepsilon \cup \Gamma_N^\varepsilon$.

В ситуации (1.6) собственные числа допускают простое асимптотическое представление

$$\lambda_{(p,q)}^\varepsilon = \frac{\pi^2}{\varepsilon^2} + \frac{\pi^2}{4} (p^2 + q^2) + \tilde{\lambda}_{(p,q)}^\varepsilon, \quad (1.10)$$

где $\tilde{\lambda}_{(p,q)}^\varepsilon$ — малый остаток (см. п. 5, §3). Разумеется, собственные числа (1.10), занумерованные двумя индексами $q \in \mathbb{N} := \{1, 2, 3, \dots\}$ и $p \in \mathbb{N}_0 := \mathbb{N} \cup \{0\}$, нужно перегруппировать в монотонную последовательность (1.8). Собственные функции принимают вид

$$u_{(p,q)}^\varepsilon(x) = \sin\left(\pi \frac{z}{\varepsilon}\right) \cos\left(\frac{\pi}{2} p(y_1 - 1)\right) \sin\left(\frac{\pi}{2} q(y_2 - 1)\right) + \tilde{u}_{(p,q)}^\varepsilon(x), \quad (1.11)$$

с малым остатком $\tilde{u}_{(p,q)}^\varepsilon$ (см. п. 5, §3). Нетрудно усмотреть, что главные члены формул (1.10) и (1.11) образуют собственные пары задачи (1.1)–(1.3) в параллелепипеде $\Omega_\square^\varepsilon = \square_1 \times (0, \varepsilon) \subset \mathbb{R}^3$, где возможно разделение переменных.

Совершенно другое асимптотическое строение приобретают собственные пары задачи (1.1)–(1.3) в случае постановки условий Неймана на всей боковой поверхности (1.5) (см.

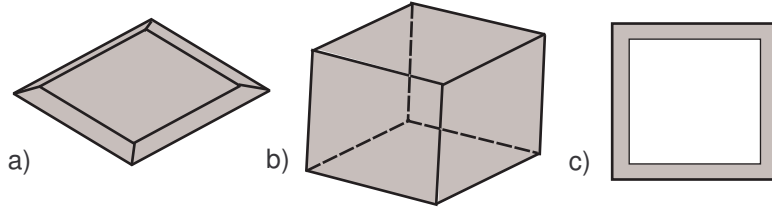


РИС. 4. Тонкая усеченная пирамида (а), сооружённый из шести пирамид тонкостенный куб (b) и его центральное сечение (с)

п. 1 и п. 4, §4), а именно,

$$\lambda_{(p,j)}^\varepsilon = \frac{\Lambda_1}{\varepsilon^2} + \frac{\pi^2}{4}p^2 + \tilde{\lambda}_{(k,j)}^\varepsilon, \quad (1.12)$$

$$u_{(p,j)}^\varepsilon(x) = \frac{1}{\varepsilon} \sum_{\pm} K_{p,j}^\pm W_1\left(\frac{1 \mp y_2}{\varepsilon}, \frac{z}{\varepsilon}\right) \cos\left(\frac{\pi}{2}p(y_1 - 1)\right) + \tilde{u}_{(k,j)}^\varepsilon(x), \quad (1.13)$$

где $K_{k,j}^\pm$ — некоторые коэффициенты, $k \in \mathbb{N}$, $j = 1, 2$ и $p \in \mathbb{N}_0$, а $\Lambda_1 \in (\pi^2/2, \pi^2)$ — собственное число и отвечающая ему экспоненциально затухающая на бесконечности собственная функция $W_1 \in H^1(\Pi)$ (см. п. 1, §2) вспомогательной задачи (2.1)–(2.3) на заостренной полуполосе

$$\Pi = \{\eta = (\eta_1, \eta_2) \in \mathbb{R}^2 : \eta_2 \in (0, 1), \eta_1 > \eta_2\}. \quad (1.14)$$

Множество $(-1, 1) \times \Pi$ получается в результате формального перехода к $\varepsilon = 0$ после следующего растяжения ординаты и аппликаты:

$$x \mapsto (y_1, \eta_1^\pm, \eta_2^\pm) = \left(y_1, \frac{1 \mp y_2}{\varepsilon}, \frac{z}{\varepsilon}\right). \quad (1.15)$$

Благодаря определению (1.4) результат не зависит от индекса \pm грани

$$\Gamma_\pm^\varepsilon = \{x : |y_1| < 1, \pm y_2 = 1 - z, z \in (0, \varepsilon)\}. \quad (1.16)$$

Собственные функции (1.13) локализованы в малой окрестности узких граней (1.16) и исчезают с экспоненциальной скоростью при удалении от них (см. п. 3 §4).

Подчеркнём, что обе формулы (1.11) и (1.13) предоставляют лишь какие-то — ненормированные — собственные функции, но в следующих параграфах считаем, что выполнены условия ортогональности и нормировки

$$(u_j^\varepsilon, u_k^\varepsilon)_{\Omega^\varepsilon} = \delta_{j,k}, \quad j, k \in \mathbb{N}, \quad (1.17)$$

где $\delta_{j,k}$ — символ Кронекера.

1.4. Краткий обзор известных форм. Изучению эффекта локализации собственных функций краевых задач посвящена обширная литература (см. работы [1]–[6], [16]–[18], обзорную статью [19] и многие другие публикации). Как уже упоминалось, для тонких областей с условием Дирихле на одном или обоих основаниях концентрация собственных функций наблюдается около высоты с наибольшей длиной (рис. 2, а и b), однако известны формы областей, для которых обсуждаемый эффект проявляется иным способом (рис. 2, с–f)

Отметим, что в статье [20] обнаружен похожий эффект концентрации мод собственных колебаний цилиндрических упругих (однородных и изотропных) тонких плит с жёстко зафиксированными основаниями и узкой боковой поверхностью, свободной от внешних воздействий.

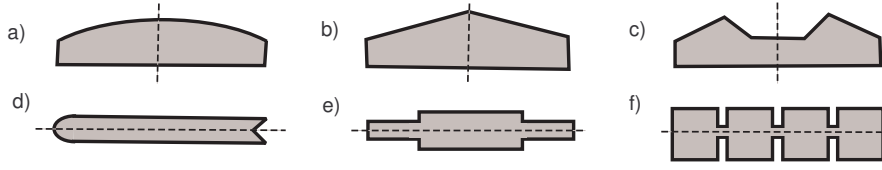


Рис. 5. Локализация около высоты наибольшей длины (а и б). Локализация около двух точек или окружности (после вращения сечения) (с), левого торца (d), на отрезке (е) и на одиночной ячейке (f). Штрих-пунктирной линией обозначены оси вращения при допустимом переходе от плоских к пространственным телам

В первую очередь выбор многогранника (1.4) обусловлен следующим наблюдением: нечётное в случае (1.5) и чётное в случае (1.6) продолжение собственной функции с горизонтальной стенки через грани (1.16) и повторение этой процедуры для двух образованных вертикальных стенок даёт отвечающую тому же собственному числу собственную функцию смешанной краевой задачи в тонком коробе (рис. 1, b)

$$\mathcal{K}^\varepsilon = (\square_1 \setminus \overline{\square_{1-\varepsilon}}) \times (-1, 1), \quad (1.18)$$

где $\square_a = \{\eta = (\eta_1, \eta_2) \in \mathbb{R}^2 : |\eta_j| < a, j = 1, 2\}$ — квадрат со стороной $2a$. При этом на внешней и внутренней боковых поверхностях короба $\{x \in \partial\mathcal{K}^\varepsilon : |y_1| < 1\}$ назначены условия Дирихле, а на торцах $(\square_1 \setminus \overline{\square_{1-\varepsilon}}) \times \{\pm 1\}$ — условия Неймана или Дириле. Полученные в §3 и §4 асимптотические формулы показывают, что у упомянутой задачи в тонкостенной конструкции (1.18) собственные функции могут приобретать совершенно различное поведение при $\varepsilon \rightarrow +0$, а именно, концентрироваться около ребер или проявляться всюду в коробе.

Обнаруженные способы распределения собственных функций возникают и в задаче Дирихле для оператора Лапласа в тонкостенном (полем) кубе

$$\mathcal{K}^\varepsilon \cup (\square_1 \times ((-1, -1 + \varepsilon) \cup (1 - \varepsilon, 1))), \quad (1.19)$$

причём в нём проявляется в первую очередь иной, уже упомянутый в п. 1.1, способ локализации: первые восемь собственных функций сконцентрированы около вершин куба и затухают с экспоненциальной скоростью при удалении от них. Это свойство собственных функций выводится при помощи изложенного в §5 подхода на основе результатов [10], [11] о спектре задачи Дирихле в «слое Фикеры»

$$\bigcup_{j=1,2,3} \{\xi = (\xi_1, \xi_2, \xi_3) : \xi_j < 1, \quad \xi_k > 0, k = 1, 2, 3\},$$

названном по аналогии с известным многогранном углом Фикеры [21]. Для подробного описания причин такой — околорешетчатой — локализации в очередном пункте будет образовано тонкое тело (рис. 3, а), а в §2 проведён спектральный анализ — определение существенного спектра и проверка непустоты дискретного — модельной краевой задачи на четверти слоя с по-разному скошенными боковыми гранями

$$\Xi = \{\xi = (\xi_1, \xi_2, \xi_3) : \xi_1 > -\xi_3, \xi_2 > \xi_3, \xi_3 \in (0, 1)\}. \quad (1.20)$$

Подчеркнём, что дискретный спектр отсутствует у смешанной краевой задачи на четверти слоя

$$\Xi_{\sqcup} = \{\xi \in \mathbb{R}^3 : \xi_1 > 0, \xi_2 > \xi_3, \xi_3 \in (0, 1)\} \quad (1.21)$$

с одной прямой гранью, а случай четверти слоя

$$\Xi_{\wedge} = \{\xi \in \mathbb{R}^3 : \xi_1 > \xi_3, \xi_2 > \xi_3, \xi_3 \in (0, 1)\} \quad (1.22)$$

с одинаково скошенными боковыми гранями непосредственно связан с тонкостенным кубом (1.19), а наличие собственного числа в дискретном спектре смешанной краевой задачи на области (1.22) установлено в работе [11].

1.5. Усугубление эффекта локализации. Как упоминалось, рассматривается ещё одна область, в которой поставлена задача (1.1)–(1.3). Этот многогранник изображён на рис. 3 и задан равенством

$$\Omega^\varepsilon = \{x : |y_1| < 1 + z, |y_2| < 1 - z, z \in (0, \varepsilon)\}, \quad (1.23)$$

а множество, где назначено условие Неймана, имеет вид (1.5). Обращаем внимание на то, что в отличие от (1.4) пары граней (1.16) и (1.7) многогранника (1.23) расположены соответственно под углами $\pi/4$ и $3\pi/4$ к плоскости $\{x : z = 0\}$. У четверти слоя (1.20) углы наклона боковых граней такие же, но у четверти слоя (1.22) оба угла равны $\pi/4$.

В §5 будет продемонстрировано, что собственным функциям $u_1^\varepsilon, \dots, u_4^\varepsilon$, отвечающим первым четырём собственным числам из последовательности (1.8), свойственны концентрации в $\varepsilon\varepsilon$ -окрестностях коротких ребер, исходящих из точек

$$P^{\pm+} = (\pm 1, +1, 0), \quad P^{\pm-} = (\pm 1, -1, 0), \quad (1.24)$$

и экспоненциальное затухание при удалении от них, а сами числа приобретают асимптотику

$$\lambda_k^\varepsilon = \varepsilon^{-2} M_1 + \tilde{\lambda}_k^\varepsilon, \quad k = 1, \dots, 4, \quad (1.25)$$

где $M_1 \in (0, \Lambda_1)$ — собственное число задачи (2.13) на бесконечной области (1.20) (см. п. 3 §2), а $\tilde{\lambda}_k^\varepsilon$ — малый остаток (см. п. 2 §5). По указанным в п. 3 §5 причинам информации о собственных числах $\{\lambda_k^\varepsilon; u_k^\varepsilon\}$ при $k > 4$ у автора нет.

1.6. Предварительное описание результатов. В очередном параграфе изучаются спектральные смешанные краевые задачи в полуполосе (1.14) и четверти слоя (1.20). Если для плоской задачи все представленные в п. 1 §2 результаты известны, то для пространственной задачи приходится доказывать в п. 2–п. 4 §2 и формулу для существенного спектра (теорема 2.1), и непустоту дискретного спектра (теорема 2.2), и экспоненциальное затухание на бесконечности собственной функции (теорема 2.3). Подчеркнём, что перечисленные результаты представляют собой центральный момент работы и, как в статье [12], служат основой для выявления эффекта околорезонансной локализации собственных функций. Впрочем, в п. 5 §2 перечисляются изъяны проведенного спектрального анализа пространственной задачи, препятствующие полному исследованию спектра задачи в многограннике (1.23), в частности, обсуждаются феномен порогового резонанса и его влияние на асимптотические структуры.

В §3 указаны асимптотические формулы для спектральных пар задачи (1.1)–(1.3) в ситуации (1.6), включающие спектральные пары задачи (3.3) в квадрате \square_1 . Построение и обоснование асимптотики традиционны (ср., например, [22]–[25]), хотя переход от условий Неймана к условиям Дирихле и требует модификации процедур. Выкладки и рассуждения подробно изложены в §3 для удобства читателя и как предварительный материал для пояснения различий в построении и обосновании асимптотических формул в очередных параграфах при возникновении эффекта локализации. Сначала выстраивается формальная асимптотика, затем приводится классическая лемма 3.1 о «почти собственных» числах и векторах, которая используется для нахождения собственных чисел исходной задачи с построенной асимптотикой, и наконец, лемма 3.2 о сходимостях позволяет установить окончательные утверждения (теоремы 2.1 и 2.2) об асимптотических разложениях собственных пар $\{\lambda_m^\varepsilon; u_m^\varepsilon\}$.

В §4 исследуется спектр задачи (1.1)–(1.3) в ситуации (1.5), для которой характерна концентрация собственных функций около узких граней (1.16), что выражается кардинальным изменением асимптотических анзацев, включающих теперь собственную пару $\{\Lambda_1; W_1\}$ задачи (2.1)–(2.3), а также собственные пары $\{\mu_m; v_m\}$ задачи Неймана (4.1) для обыкновенного дифференциального уравнения на отрезке $(-1, 1) \ni y_1$. С одной стороны процедура обоснования асимптотики упрощается, так как путём постановки искусственных краевых условий на срединной плоскости $\{x : y_2 = 0\}$ тела Ω^ε собственные числа делаются простыми. С другой стороны доказательство леммы 4.1 о сходимостях потребовало значительной переработки материала из в п. 4 §3. Наконец, в п. 5 §4 указываются иные серии собственных чисел с устойчивыми асимптотиками, которые выстраиваются по тому же принципу, что и в §3, но с изменениями в аргументации постановки краевых условий на сторонах квадрата \square_1 .

В §5 представлены асимптотические результаты, относящиеся к задаче (1.1)–(1.3) в области (1.23). Эффект околорышиной локализации происходит от обнаруженной п. 3 §2 точки M_1 дискретного спектра задачи (2.13) в четверти слоя (1.20). Наличие собственной пары $\{M_1; V_1\}$ совершенно упрощает асимптотические анзацы, а процедура обоснования также тривиализуется благодаря постановке искусственных краевых условий на двух плоскостях симметрии тела (1.23) — см. теорему 5.2 о собственных числах $\lambda_1^\varepsilon, \dots, \lambda_4^\varepsilon$. Вместе с тем из-за неполноты спектрального анализа задачи (2.13) (ср. комментарии в п. 5 §2) получить информацию о собственных парах с номерами $m > 4$ не удалось. Другие открытые вопросы обсуждаются в п. 3 §5.

Приемы и результаты проведённого далее асимптотического анализа допускают разнообразные обобщения (разумеется, при понятных ограничениях), а именно, вариацию количества граней, растворов двугранных углов и распределения краевых условий (1.2) и (1.3), а также для скалярных уравнений второго порядка в дивергентной форме с гладкими коэффициентами, однако подобные обобщения оставлены без внимания для наглядности и упрощения асимптотических конструкций и конечно же для облегчения формулировок результатов.

2. СПЕКТРАЛЬНЫЕ ЗАДАЧИ В БЕСКОНЕЧНЫХ ОБЛАСТЯХ

2.1. Вспомогательная плоская задача. В полуполосе (1.14) со скошенным торцом $\gamma = \{\eta : \eta_2 \in (0, 1), \eta_1 = \eta_2\}$ и боковыми сторонами $\sigma^j = \{\eta : \eta_2 = j, \eta_1 > j\}$, $j = 0, 1$, рассмотрим задачу

$$-\Delta_\eta W(\eta) = \Lambda W(\eta), \quad \eta \in \Pi, \quad (2.1)$$

$$W(\eta) = 0, \quad \eta \in \sigma := \sigma^0 \cup \sigma^1, \quad (2.2)$$

$$\partial_{\nu(\eta)} W(\eta) = 0 \quad \text{или} \quad W(\eta) = 0, \quad \eta \in \gamma. \quad (2.3)$$

Последние краевые условия обозначаем $(2.3)_N$ или $(2.3)_D$ соответственно.

Непрерывный спектр обеих задач — луч $[\pi^2, +\infty)$. Классический прием [26] показывает, что точечный спектр задачи Дирихле (2.1)–(2.3)_D пустой.

Известно, что дискретный спектр смешанной краевой задачи (2.1)–(2.3)_N состоит из единственной точки $\Lambda_1 \in (0, \pi^2)$ (приближённое значение $0,93\pi^2$ вычислено в работе [27], а в работах [7], [8], [16] строго установлены его существование и единственность). Соответствующая собственная функция $W_1 \in H_0^1(\Pi; \sigma)$ затухает на бесконечности со скоростью $O(e^{-\eta_1 \sqrt{\pi^2 - \Lambda_1}})$ и допускает представление (см., например, [28, гл. 2])

$$W_1(\eta) = \chi(r_1) C_1 r_1^{\frac{2}{3}} \sin\left(\frac{2\varphi_1}{3}\right) + \widehat{W}_1(\eta), \quad (2.4)$$

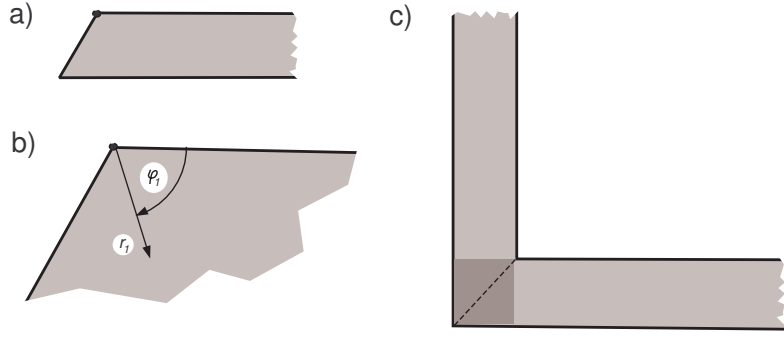


Рис. 6. Заостренная полуполоса (а), угол раствором $3\pi/4$ и полярные координаты (r_1, φ_1) (б). L-образная область и глубоко тонированный единичный квадрат в ней (с)

в котором C_1 — так называемый коэффициент интенсивности, $(r_j, \varphi_j) \in \mathbb{R}_+ \times (0, (2j+1)\pi/4)$ — система полярных координат с центром в точке $\mathcal{P}_j = (j, j)$ (рис. 6, а и б), $j = 0, 1$, $\widetilde{W}_1 \in H^2(\Pi)$, $W_1(\mathcal{P}_0) = 0$ и $W_1(\mathcal{P}_1) = 0$, а $\chi \in C^\infty(\mathbb{R})$ — эталонная срезающая функция,

$$\chi(r) = 1 \quad \text{при } r < \frac{1}{3} \quad \text{и} \quad \chi(r) = 0 \quad \text{при } r > \frac{2}{3}. \quad (2.5)$$

Отметим, что около точки \mathcal{P}_0 функция W_1 ведет себя как $C_0 r_0^2 \sin(2\varphi) + O(r_0^4)$, т.е. оказывается гладкой. Первую собственную функцию нормируем в пространстве $L^2(\Pi)$

$$\|W_1; L^2(\Pi)\| = 1. \quad (2.6)$$

Её можно зафиксировать положительной в $\Pi \cup \gamma$ (теорема Крейна — Рутмана; см., например, [29, теорема 1.2.5]). В этом случае коэффициент C_1 положителен, так как за исключением отделённой в разложении (2.4) все гармонические функции в угле раствором $3\pi/4$ с условиями Дирихле и Неймана на его сторонах меняют знак (этот факт следует применять итерационно). Наконец, справедливо разложение на бесконечности

$$W_1(\eta) = K_1 e^{-\beta_1 \eta_1} \sin(\pi \eta_2) + \widetilde{W}_1(\xi), \quad (2.7)$$

в котором $\widetilde{W}_1(\xi) = O(e^{-\beta_2 \eta_1})$ при $\eta_1 \rightarrow +\infty$ и

$$\beta_k = \sqrt{\pi^2 k^2 - \Lambda_1}, \quad k \in \mathbb{N}. \quad (2.8)$$

Коэффициент K_1 положителен, так как опять-таки среди членов $K_k e^{-\beta_k \eta_1} \sin(\pi k \eta_2)$ сходящегося при $\eta_1 > 1$ ряда Фурье для функции W_1 только отделённый в правой части соотношения (2.7) член имеет постоянный знак.

Ввиду важности результата о дискретном спектре смешанной краевой задачи в Π и для удобства читателя приведем простые и укороченные доказательства.

Лемма 2.1. *На интервале $(0, \pi^2)$ у задачи (2.1)–(2.3)_N есть единственное собственное число $\Lambda_1 \in (\pi^2/2, \pi^2)$.*

Доказательство. Существование собственного числа в дискретном спектре установлено в публикациях [7], [8], [16] и др. Покажем, как можно установить его единственность и вывести простейшую оценку снизу. Посредством чётного продолжения через диагональ первого квадранта (штрих-пунктирная линия на рис. 6, с) сведем задачу (2.1)–(2.3)_N к задаче Дирихле в L-образной области

$$\mathbf{L} = \bigcup_{j=1,2} \left\{ \eta : \eta_j > 0, 0 < \eta_{3-j} < 1 \right\},$$

которую разобьем на две ($j = 1, 2$) полуполосы $\varpi_j = \{\eta \in \mathbf{L} : \eta_j > 1\}$ с прямыми торцами и единичный квадрат $\blacksquare = (0, 1)^2$ (глубоко тонирован на рис. 6, с). В силу условия Дирихле на границе $\partial\mathbf{L}$ одномерное неравенство Фридрихса на отрезке $(0, 1)$ показывает, что

$$\|\nabla_\eta W; L^2(\varpi_j)\|^2 \geq \pi^2 \|W; L^2(\varpi_j)\|^2 \quad \forall W \in H_0^1(\mathbf{L}). \quad (2.9)$$

Первые два собственных числа оператора Лапласа в квадрате \blacksquare с условиями Дирихле на двух смежных сторонах и Неймана на двух других равны $\frac{\pi^2}{2}$ и $\frac{5\pi^2}{2}$. Первое — простое с положительной собственной функцией $\sin\left(\frac{\pi}{2}\eta_1\right)\sin\left(\frac{\pi}{2}\eta_2\right)$, удовлетворяющей однородному условию Неймана на диагонали квадрата, т.е. условию (2.3)_N на γ , а второе — двукратное. Таким образом, выполнены соотношения

$$\|\nabla_\eta W; L^2(\blacksquare)\|^2 \geq \frac{\pi^2}{2} \|W; L^2(\blacksquare)\|^2 \quad \forall W \in H_0^1(\mathbf{L}) \quad (2.10)$$

$$\|\nabla_\eta W; L^2(\blacksquare)\|^2 \geq \frac{5\pi^2}{2} \|W; L^2(\blacksquare)\|^2 \quad \text{при всех } W \in H_0^1(\mathbf{L}), \quad (2.11)$$

$$\text{подчиненных ограничению} \quad \int_{\mathbf{Q}} \sin\left(\frac{\pi}{2}\eta_1\right)\sin\left(\frac{\pi}{2}\eta_2\right)W(\eta)d\eta = 0.$$

В итоге нужные факты обеспечены минимальным и максиминимальным принципами (см. [30, теоремы 10.2.1 и 10.2.2] и соответственно неравенствами (2.9), (2.10) и неравенствами (2.9), (2.11)). Лемма доказана. \square

Замечание 2.1. Аналогичные результаты известны и для заостренных полос

$$\Pi^\alpha = \{\eta : \eta_2 \in (0, 1), \eta_1 > \eta_2 \operatorname{ctg} \alpha\}, \quad \alpha \in (0, \frac{\pi}{2})\}$$

(см. публикации [8], [9] и др.), однако кратность дискретного спектра неограниченно возрастает при $\alpha \rightarrow +0$. В статье [9], где сделано это наблюдение, содержится изъясн: построенное асимптотическое приближение к собственным функциям не попадает в область определения самосопряжённого оператора задачи из-за сингулярности $O(r^{2(\frac{\pi}{2}-\alpha)})$ в точке $(\operatorname{ctg} \alpha, 1)$. Способы устранения этой неувязки указаны в публикации [31].

2.2. Существенный спектр задачи в четверти слоя. Растяжение всех трёх координат

$$x \mapsto \xi = \varepsilon^{-1}(y_1 + 1, y_2 + 1, z) \quad (2.12)$$

относительно точки $P^{--} \in \mathbb{R}^3$ и формальный переход к $\varepsilon = 0$ превращает тонкую область (1.23) в множество (1.20), на котором рассмотрим смешанную краевую спектральную задачу

$$\begin{aligned} -\Delta_\xi V(\xi) &= MV(\xi), \quad \xi \in \Xi, \\ V(\xi) &= 0, \quad \xi \in \Theta := \Theta^1 \cup \Theta^2, \\ \partial_{\nu(\xi)} V(\xi) &= 0, \quad \xi \in \Upsilon := \Upsilon^0 \cup \Upsilon^1. \end{aligned} \quad (2.13)$$

Здесь $\Theta^j = \{\xi \in \partial\Xi : \xi_3 = j\}$, $j = 0, 1$, — квадранты, т.е. основания бесконечного многогранника (1.20), а

$$\Upsilon^k = \{\xi \in \partial\Xi : \xi_k > (-1)^k \xi_3, \xi_3 \in (0, 1)\}, \quad k = 1, 2,$$

— его боковые грани. В силу определения (1.23) тонкого конечного многогранника Ω^ε аналогичные (2.12) растяжения координат относительно других точек из списка (1.24) и повороты декартовой системы дают ту же четверть слоя (1.20).

Вариационной постановке задачи (2.13)

$$(\nabla_\xi V, \nabla_\xi \Psi)_\Xi = M(V, \Psi)_\Xi \quad \forall \Psi \in H_0^1(\Xi; \Upsilon) \quad (2.14)$$

ставится [30, гл. 10, §1] в соответствие самосопряжённый положительно определённый неограниченный оператор B в гильбертовом пространстве $\mathcal{L} = L^2(\Xi)$. Ближайшая цель — убедиться в том, что существенный спектр оператора имеет вид

$$\wp_e = [M_\dagger, +\infty) = [\Lambda_1, +\infty), \quad (2.15)$$

где $\Lambda_1 \in (\pi^2/2, \pi^2)$ — собственное число задачи (2.1)–(2.3) (см. лемму 2.1). В значительной степени повторим рассуждения из публикаций [10], [12].

Начнём с проверки включения $[\Lambda_1, +\infty) \subset \wp_e$, для чего определим сингулярную последовательность Вейля для оператора B в точке $M \geq M_\dagger$ следующим образом:

$$\mathcal{Z}_k(\xi) = \|X_k Z_M; \mathcal{L}\|^{-1} X_k(\xi_1) Z_M(\xi), \quad k \in \mathbb{N}, \quad (2.16)$$

где

$$\begin{aligned} Z_M(\xi) &= e^{i\xi_1 \sqrt{M-M_\dagger}} W_1(\xi_2, \xi_3), \quad i = \sqrt{-1}, \\ X_k(\xi_1) &= \chi(\xi_1 - 2^{k+1} + 1)(1 - \chi(\xi_1 - 2^k)). \end{aligned}$$

При этом χ — срезающая функция (2.5). Таким образом, носитель функции (2.16) расположен на множестве Ξ_k^1 , где

$$\Xi_k^j = \left\{ \xi \in \Xi : \xi_1 \in \left[2^k + \frac{j}{3}, 2^{k+1} - \frac{j}{3} \right] \right\}, \quad j = 1, 2.$$

В результате справедлива формула $\text{supp } \mathcal{Z}_k \cap \text{supp } \mathcal{Z}_j = \emptyset$ при $k \neq j$, а вместе с ней и первые два свойства сингулярной последовательности Вейля

- 1° $\|\mathcal{Z}_k; \mathcal{L}\| = 1$,
- 2° $\mathcal{Z}_k \rightarrow 0$ слабо в \mathcal{L}

становятся понятными. Поскольку $X_k = 1$ на Ξ_k^2 , в силу равенства (2.6) имеем

$$\|X_k Z_M; \mathcal{L}\|^2 \geq \int_{2^k + \frac{2}{3}}^{2^{k+1} - \frac{2}{3}} \int_{\Pi} |W_1(\xi_2, \xi_3)|^2 d\xi_2 d\xi_3 d\xi_1 = 2^{k+1} - 2^k - \frac{4}{3}.$$

Кроме того, $(\Delta_\xi + M)Z_M = 0$, а значит, функция $(\Delta_\xi + M)\mathcal{Z}_k$ обращается в нуль на множестве Ξ_k^2 и

$$\|(B - M)(X_k Z_M); \mathcal{L}\|^2 \leq \int_{\Xi_k^1 \setminus \Xi_k^2} |[\Delta_\xi, X_k] Z_M|^2 d\xi \leq 2c_{\chi M}.$$

Итак, стало очевидным и третье свойство

- 3° $\|B\mathcal{Z}_k - M\mathcal{Z}_k; \mathcal{L}\| \rightarrow 0$.

В итоге $M \in \wp_e$ и $[\Lambda_1, +\infty) \subset \wp_e$ по критерию Вейля (ср. [30, теорема 9.1.2]).

Пусть теперь $M \in (0, M_\dagger)$. Далее будет установлена однозначная разрешимость задачи

$$(\nabla_\xi V, \nabla_\xi \Psi)_\Xi - M(V, \Psi)_\Xi + t(V, \Psi)_{\Xi(R)} = f(\Psi), \quad \Psi \in H_0^1(\Xi; \Upsilon), \quad (2.17)$$

в которой $f \in (H_0^1(\Xi; \Upsilon))^*$ — линейный непрерывный функционал на пространстве $H_0^1(\Xi; \Upsilon)$, а число $t > 0$ и ограниченное множество $\Xi(R) \subset \Xi$ будут зафиксированы надлежащим образом. Тот факт, что отображение

$$H_0^1(\Xi; \Upsilon) \ni V \mapsto \mathcal{B}_t(R)V = f \in (H_0^1(\Xi; \Upsilon))^*$$

оказалось изоморфизмом, влечёт за собой фредгольмово свойство оператора \mathcal{B}_0 исходной задачи (2.14), так как разность $\mathcal{B}_t(R) - \mathcal{B}_0$ — компактный оператор ввиду компактности вложения $H^1(\Xi) \subset L^2(\Xi(R))$, а именно

$$(\mathcal{B}_t(R)V - \mathcal{B}_0 V, \Psi)_\Xi = t(V, \Psi)_{\Xi(R)}.$$

Начнём с проверки простых и в целом известных фактов (см. [10], [32] и др.).

Предложение 2.1. Пусть $T > 1$ и Λ_1^T — первое собственное число смешанной краевой задачи на трапеции $\Pi^T = \{\eta : \eta_1 \in (\eta_2, T), \eta_2 \in (0, 1)\}$

$$\begin{aligned} -\Delta_\eta W^T(\eta) &= \Lambda^T W^T(\eta) \quad \text{при } \eta \in \Pi^T, \\ W^T(\eta) &= 0 \quad \text{при } \eta_2 < \eta_1 < T, \quad \eta_2 = 0 \quad \text{или} \quad \eta_2 = 1, \\ \partial_{\nu(\eta)} W^T(\eta) &= 0 \quad \text{при } \eta \in \partial\Pi^T, \quad \eta_2 \in (0, 1). \end{aligned} \quad (2.18)$$

Функция $(1, +\infty) \ni T \mapsto \Lambda_1^T$ гладкая и строго монотонно возрастающая. Для неё верна оценка

$$|\Lambda_1^T - \Lambda_1 + \beta_1 K_1^2 e^{-2\beta_1 T}| \leq C e^{-\beta_2 T}, \quad (2.19)$$

причём числа K_1 и β_k взяты из формул (2.7) и (2.8).

Доказательство. Самый простой способ проверить свойства собственного числа Λ_1^T как функции параметра T — построение асимптотик. При этом достаточна реализация формальной процедуры — обоснование полученных представлений проводится по стандартным схемам, неоднократно публиковавшимся (см. [22, гл. 5, §6 и гл. 9], [32] и др.). Подчеркнём, что сжатием координат «длинная» область Π^T превращается в «тонкую», а для таких тел, даже упругих, опубликованная литература необозрима (см., например, заведомо неполные списки в монографиях [22], [25], [33]–[36]) и даёт ответы на почти все осмысленные вопросы.

Асимптотику собственных пар задачи (2.18) ищем в виде

$$\Lambda_1^T = \Lambda_1 + e^{-2\beta_1 T} \Lambda' + \dots, \quad (2.20)$$

$$W_1^T(\xi) = W_1(\xi) + K_1 e^{-2\beta_1 T} e^{\beta_1 \eta_2} \sin(\pi \eta_2) + e^{-2\beta_1 T} W'(\xi) + \dots, \quad (2.21)$$

где многоточие заменяет младшие асимптотические члены, не существенные для предприняемого анализа, а пара $\{\Lambda'; W'\}$ подлежит определению. Согласно разложению (2.7) сумма первых двух членов в правой части анзаца (2.21) оставляют в краевом условии на отрезке $\gamma^T = \{\eta : \eta_1 = T, \eta_2 \in (0, 1)\}$ невязку $O(e^{-\beta_2 T})$. Для пары $\{\Lambda'; W'\}$ получаем уравнение

$$-\Delta_\eta W'(\eta) - \Lambda_1 W'(\eta) = \Lambda' W_1(\eta), \quad \eta \in \Pi,$$

с краевыми условиями Дирихле (2.2) на боковых сторонах и найденному согласно уже упомянутому разложению (2.7) условием Неймана на торце

$$\partial_{\nu(\eta)} W'(\eta) = -K_1 \partial_{\nu(\eta)} (e^{\beta_1 \eta_2} \sin(\pi \eta_2)), \quad \eta \in \gamma.$$

Поскольку Λ_1 — простое собственное число, имеется одно условие разрешимости полученной задачи в классе исчезающих на бесконечности функций (см., например, [28, гл. 2 и 5]), которое при учёте нормировки (2.6) выполняем следующим образом:

$$\begin{aligned} \Lambda' &= \Lambda' \|W'; L^2(\Pi)\|^2 = - \int_{\Pi} W_1(\eta) (\Delta_\eta + \Lambda_1) W'(\eta) d\eta \\ &= K_1 \int_{\gamma} W_1(\eta) \partial_{\nu(\eta)} (e^{\beta_1 \eta_2} \sin(\pi \eta_2)) ds_\eta \\ &= -K_1 \lim_{t \rightarrow +\infty} \int_{\gamma^t} \left(W_1(\eta) \frac{\partial}{\partial \eta_1} (e^{\beta_1 \eta_2} \sin(\pi \eta_2)) - e^{\beta_1 \eta_2} \sin(\pi \eta_2) \frac{\partial W_1}{\partial \eta_1}(\eta) \right) d\eta_2 \\ &= -K_1^2 2\beta_1 \int_0^1 (\sin(\pi \eta_2))^2 d\eta_2 = -\beta_1 K_1^2. \end{aligned}$$

Поправочный член в представлении (2.20) вычислен.

Для проверки свойства монотонности возьмём малый параметр $h > 0$ и сравним собственные числа Λ_1^{T-h} и Λ_1^T для трапеций $\Pi^{T-h} \subset \Pi^T$. Опять примем простейшие асимптотические анзацы

$$\begin{aligned}\Lambda_1^{T-h} &= \Lambda_1^T + h\Lambda_{\bullet}^T + \dots, \\ W_1^{T-h}(\eta) &= W_1^T(\eta) + hW_{\bullet}^T(\eta) + \dots\end{aligned}$$

При учёте формулы Тейлора

$$\frac{\partial W_1^T}{\partial \eta_1}(\eta_1 - h, \eta_2) = \frac{\partial W_1^T}{\partial \eta_1}(\eta_1, \eta_2) - h \frac{\partial^2 W_1^T}{\partial \eta_1^2}(\eta_1, \eta_2) + \dots$$

обнаруживаем, что поправочные члены в анзацах находятся из уравнения

$$-\Delta_{\eta} W_{\bullet}^T(\eta) - \Lambda_1^T W_{\bullet}^T(\eta) = \Lambda_{\bullet}^T W_1^T(\eta) \quad \text{в } \Pi^T,$$

с однородными условиями Дирихле на основаниях σ_0^T и σ_1^T трапеции Π^T и следующими условиями Неймана на боковых сторонах:

$$\frac{\partial W_{\bullet}^T}{\partial \nu(\eta)} = 0 \quad \text{на } \gamma, \quad \frac{\partial W_{\bullet}^T}{\partial \eta_1}(T, \eta_2) = \frac{\partial^2 W_1^T}{\partial \eta_1^2}(T, \eta_2) \quad \text{при } \eta_2 \in (0, 1).$$

Соблюдая одно (Λ_1^T — простое собственное число) условие разрешимости сформированной задачи, находим, что

$$\begin{aligned}\Lambda_{\bullet}^T \|W_1^T; L^2(\Pi^T)\|^2 &= - \int_0^1 W_1^T(T, \eta_2) \frac{\partial^2 W_1^T}{\partial \eta_1^2}(T, \eta_2) d\eta_2 \\ &= \int_0^1 W_1^T(T, \eta_2) \left(\frac{\partial^2 W_1^T}{\partial \eta_2^2}(T, \eta_2) + \Lambda_1^T W_1^T(T, \eta_2) \right) d\eta_2 \quad (2.22) \\ &= \int_0^1 \left(\Lambda_1^T |W_1^T(T, \eta_2)|^2 - \left| \frac{\partial W_1^T}{\partial \eta_2}(T, \eta_2) \right|^2 \right) d\eta_2.\end{aligned}$$

Функция W_1^T по крайней мере дважды непрерывно дифференцируема в угловых точках — концах отрезка γ^T . Таким образом, при помощи неравенства Фридрихса выводим из формулы (2.22) оценку

$$\Lambda_{\bullet}^T \leq (\Lambda_1^T - \pi^2) \|W_1^T; L^2(\Pi^T)\|^{-2} \|W_1^T; L^2(\gamma^T)\|^2,$$

причём обе нормы положительной в $\Pi^T \cup \gamma \cup \gamma^T$ функции W_1^T не обращаются в нуль. Итак, производная функции $T \mapsto \Lambda_1^T$ в какой-либо точке $T > 1$ строго положительна при условии $\Lambda_1^T < \pi^2$. Неравенство $\Lambda_1^T \geq \pi^2$ невозможно при всех $T > 1$, так как в силу формулы (2.19) при больших T нужное условие выполнено.

Отметим, что «почти тождественная» замена координат

$$\eta \mapsto (\eta_1 \chi(\eta_1 - 1) + (\eta_1 - h)(1 - \chi(\eta_1 - 1)), \eta_2)$$

переводит трапецию Π^T в трапецию Π^{T-h} , т.е. сдвиг границы — регулярное возмущение задачи и обоснование асимптотики в этом случае совершенно тривиально (ср. монографию [37, гл. 7, §6]). Проверка предложения закончена.

Вернёмся к рассмотрению задачи (2.17) при $M < M_{\dagger}$. Разобьём область Ξ на три множества

$$\begin{aligned}\Xi(R) &= \{\xi \in \Xi : \xi_1 + 1 < R, \xi_2 < R\}, \\ \Xi^+(R) &= \{\xi \in \Xi : \xi_1 + 1 > R, \xi_2 < \xi_1 + 1\}, \\ \Xi^-(R) &= \{\xi \in \Xi : \xi_2 > R, \xi_2 > \xi_1 + 1\},\end{aligned}\tag{2.23}$$

а размер $R > 1$ выберем так, чтобы выполнялось условие

$$\Lambda_1^T > \frac{1}{2}(M_{\dagger} + M) > M \quad \text{при} \quad T > R,\tag{2.24}$$

в котором Λ_1^T — первое собственное число задачи (2.18). Предложение 2.1 показывает, что требование (2.24) можно соблюсти при любом $M \in (0, M_{\dagger})$.

Благодаря условиям Дирихле на основаниях бесконечной усечённой пирамиды $\Xi^+(R)$ справедливо соотношение

$$\begin{aligned}\|\nabla_{\xi} V; L^2(\Xi^+(R))\|^2 &\geq \int_{R-1}^{+\infty} \int_{\Pi^{\xi_1+1}} |\nabla_{\eta} V(\xi_1, \eta)|^2 d\eta d\xi_1 \\ &\geq \int_{R-1}^{+\infty} \Lambda_1^{\xi_1+1} \int_{\Pi^{\xi_1+1}} |V(\xi_1, \eta)|^2 d\eta d\xi_1 \geq \frac{M + M_{\dagger}}{2} \|V; L^2(\Xi^+(R))\|^2.\end{aligned}$$

Точно такое же неравенство выполнено и на множестве $\Xi^-(R)$, конгруэнтном множеству $\Xi^+(R)$. Следовательно, для симметричной билинейной формы $b(V, \Psi; \Xi)$ из левой части интегрального тождества (2.17), суженной на подобласти (2.23), верны формулы

$$\begin{aligned}b(V, V; \Xi^{\pm}(R)) &= \|\nabla_{\xi} V; L^2(\Xi^{\pm}(R))\|^2 - M \|V; L^2(\Xi^{\pm}(R))\|^2 \\ &\geq \delta \|\nabla_{\xi} V; L^2(\Xi^{\pm}(R))\|^2 + \frac{1}{2} ((M_{\dagger} - M) - \delta(M_{\dagger} + M)) \|V; L^2(\Xi^{\pm}(R))\|^2, \\ b(V, V; \Xi(R)) &= \|\nabla_{\xi} V; L^2(\Xi^{\pm}(R))\|^2 + (t - M) \|V; L^2(\Xi(R))\|^2.\end{aligned}$$

Зафиксировав числа $t > M$ и $\delta \in (0, (M_{\dagger} + M)^{-1}(M_{\dagger} - M))$, обнаруживаем, что форма $b(V, \Psi; \Xi)$ положительно определена на пространстве $H_0^1(\Xi; \Upsilon)$, т.е. по тереме Рисса о представлении непрерывного линейного функционала в гильбертовом пространстве задача (2.17) однозначно разрешима. \square

Итак, доказана

Теорема 2.1. *Существенным спектром задачи (2.13) в области (1.20) с условиями Дирихле на основаниях Υ^{\pm} служит луч (2.15), точка отсечки M_{\dagger} которого — собственное число Λ_1 из дискретного спектра задачи (2.1)–(2.3) в заостренной полосе (1.14).*

2.3. Дискретный спектр задачи в четверти слоя. Приём из этого раздела несколько отличается от приёмов, использованных в работах [11] и [12] для проверки непустоты дискретного спектра в слоевидных областях схожих форм.

Согласно минимальному принципу [30, теорема 10.2.1] нижняя грань \wp всего спектра \wp задачи (2.14) (или (2.13) в дифференциальной форме) удовлетворяет соотношению

$$\underline{\wp} = \min_{\Psi \in H_0^1(\Xi; \Upsilon) \setminus \{0\}} \frac{\|\nabla_{\xi} \Psi; L^2(\Xi)\|^2}{\|\Psi; L^2(\Xi)\|^2}.$$

Таким образом, для проверки непустоты дискретного спектра \wp_d достаточно найти пробную функцию $\Psi \in H_0^1(\Xi; \Upsilon)$, для которой выполнено неравенство

$$\|\nabla_{\xi} \Psi; L^2(\Xi)\|^2 - M_{\dagger} \|\Psi; L^2(\Xi)\|^2 < 0.\tag{2.25}$$

При этом оказывается, что ϱ — первое собственное число в дискретном спектре \wp_d .

Положим

$$\Psi_\delta(\xi) = \begin{cases} W_1(\xi_2, \xi_3) & \text{при } \xi_1 \leq 0, \\ W_1(\xi_2, \xi_3)e^{-\delta\xi_1} & \text{при } \xi_1 \geq 0. \end{cases}$$

Понятно, что $\Psi_\delta \in H_0^1(\Xi; \Upsilon)$ при $\delta > 0$. В силу нормировки (2.6) имеем

$$\|\Psi_\delta; L^2(\Xi)\|^2 = \|W_1; L^2(\mathbb{T})\|^2 + \int_0^\infty e^{-2\delta\xi_1} d\xi_1 \int_{\Pi} |W_1(\xi_2, \xi_3)|^2 d\xi_2 d\xi_3 = \|W_1; L^2(\mathbb{T})\|^2 + \frac{1}{2\delta}. \quad (2.26)$$

Здесь $\mathbb{T} = \{\xi : \xi_1 \in (-\xi_3, 0), \xi_2 > \xi_3, \xi_3 \in (0, 1)\}$ — усеченная призма с треугольным сечением. Считая параметр δ малым, аналогично получаем, что

$$\begin{aligned} \|\nabla_\xi \Psi_\delta; L^2(\Xi)\|^2 &= \|\nabla_\xi W_1; L^2(\mathbb{T})\|^2 + \int_0^\infty e^{-2\delta\xi_1} d\xi_1 \int_{\Pi} |\nabla_\eta W_1(\eta)|^2 d\eta + O(\delta) \\ &= \|\nabla_\xi W_1; L^2(\mathbb{T})\|^2 + \frac{1}{2\delta} \Lambda_\dagger + O(\delta). \end{aligned}$$

Рассмотрим разность

$$\begin{aligned} &\|\nabla_\xi W_1; L^2(\mathbb{T})\|^2 - \Lambda_1 \|W_1; L^2(\mathbb{T})\|^2 \\ &= \mathbf{J} := - \int_{\mathbb{P}} W_1(\xi_2, \xi_3) (\Delta_\xi + \Lambda_1) W_1(\xi_2, \xi_3) d\xi + \int_{\Theta^2} W_1(\xi_2, \xi_3) \partial_{\nu(\xi)} W_1(\xi_2, \xi_3) ds_\xi. \end{aligned}$$

Первый интеграл в правой части аннулируется в силу уравнения (2.1) для пары $\{\Lambda_1; W_1\}$. Второй интеграл равен

$$\mathbf{J} = -\frac{1}{\sqrt{2}} \int_{\mathbb{P}} W_1\left(\eta_1, \frac{\eta_2}{\sqrt{2}}\right) \frac{\partial W_1}{\partial \eta_2}\left(\eta_1, \frac{\eta_2}{\sqrt{2}}\right) d\eta, \quad (2.27)$$

где $\eta = (\eta_1, \eta_2)$ — система декартовых координат в плоскости грани Υ^2 , причём $\eta_1 = \xi_2$ и $\eta_2 = 2^{-\frac{1}{2}}(\xi_3 - \xi_1)$, а $\mathbb{P} \subset \mathbb{R}_+ \times (0, \sqrt{2})$ — заостренная полуполоса с вершинами $\eta = (0, 0)$ и $\eta = (1, \sqrt{2})$. Отрезок, соединяющий эти точки, обозначим \mathbb{I} и при помощи формулы интегрирования по частям получим, что

$$\mathbf{J} = -\frac{1}{2} \int_{\mathbb{I}} \left| W_1\left(\eta_1, \frac{\eta_2}{\sqrt{2}}\right) \right|^2 ds < 0. \quad (2.28)$$

Строгое неравенство выполнено потому, что первая собственная функция W_1 задачи (2.1)–(2.3) положительна на торце полуполосы (1.14) — в любом случае она не может обратиться в нуль всюду на торце в силу теоремы о единственности продолжения (см., например, книгу [38]).

Собирая формулы (2.26)–(2.28), видим, что левая часть неравенства (2.25) не превосходит суммы $\mathbf{J} + C\delta$ и потому действительно становится отрицательной при достаточно малом $\delta > 0$.

Сформулируем полученный результат.

Теорема 2.2. *В дискретном спектре задачи (2.13) (или (2.14) в вариационной форме) имеется по крайней мере одно собственное число.*

2.4. Экспоненциальное затухание собственной функции. Пусть M_1 — первое (наименьшее) собственное число задачи (2.13), предоставленное теоремой 2.2. Соответствующую собственную функцию $V_1 \in H_0^1(\Xi; \Upsilon)$ нормируем в $L^2(\Xi)$ и зафиксируем положительной в $\Xi \cup \Theta$. В интегральное тождество (2.14) подставим пробную функцию $\Psi_T^\kappa = \mathcal{R}_T^\kappa \mathcal{V}_T^\kappa$, где $\mathcal{V}_T^\kappa = \mathcal{R}_T^\kappa V_1$. Непрерывный кусочно-гладкий весовой множитель имеет вид

$$\mathcal{R}_T^\kappa(\xi) = \begin{cases} e^\kappa & \text{при } \rho \leq 1, \\ e^{\kappa\rho} & \text{при } \rho \in (1, T), \\ e^{\kappa T} & \text{при } \rho \geq T, \end{cases} \quad (2.29)$$

причём $\rho^2 = \xi_1^2 + \xi_2^2$, а κ и R — положительные параметры, которые далее выберем малым и большим соответственно. Подчеркнём, что функции \mathcal{V}_T^κ и Ψ_T^κ принадлежат пространству $H_0^1(\Xi; \Theta)$, так как весовой множитель (2.29) постоянен при больших радиусах ρ . В результате простых преобразований (несколько раз коммутируем оператор-градиент ∇_ξ с функцией \mathcal{R}_T^κ) получим равенство

$$\|\nabla_\xi \mathcal{V}_T^\kappa; L^2(\Xi)\|^2 - \|\mathcal{V}_T^\kappa (\mathcal{R}_T^\kappa)^{-1} \nabla_\xi \mathcal{R}_T^\kappa; L^2(\Xi)\|^2 = M_1 \|\mathcal{V}_T^\kappa; L^2(\Xi)\|^2. \quad (2.30)$$

Заметим, что

$$\nabla_\xi \mathcal{R}_T^\kappa(\xi) = 0 \quad \text{при } \rho \notin (1, T), \quad \mathcal{R}_T^\kappa(\xi)^{-1} |\nabla_\xi \mathcal{R}_T^\kappa(\xi)| \leq \kappa \quad \text{при } \rho \in (1, T). \quad (2.31)$$

Разобьём множество Ξ на четыре части: множество $\Xi(R)$ из формулы (2.23), а также множества

$$\Sigma_R^1 = \left\{ \xi \in \Xi : \xi_2 < R, \xi_1 > R - \frac{1}{2} \right\}, \quad \Sigma_R^2 = \left\{ \xi \in \Xi : \xi_1 < R - \frac{1}{2}, \xi_2 > R \right\}$$

и $K_R = \Xi \setminus (\Xi(R) \cup \Sigma_R^1 \cup \Sigma_R^2)$. Вспомнив предложение 2.1, выберем размер $R > 1$ так, чтобы выполнялось соотношение $\Lambda_1^R > \frac{1}{2}(M_1 + \Lambda_1)$. Тогда на подобластях Σ_R^1 и Σ_R^2 , конгруэнтных множеству $(R, +\infty) \times \Pi^R \ni (\tau, \eta)$, выполняются оценки

$$\frac{1}{2} (M_1 + \Lambda_1) \|\mathcal{V}_T^\kappa; L^2(\Sigma_R^j)\|^2 \leq \Lambda_1^R \|\mathcal{V}_T^\kappa; L^2(\Sigma_R^j)\|^2 \leq \|\nabla_\xi \mathcal{V}_T^\kappa; L^2(\Sigma_R^j)\|^2, \quad (2.32)$$

полученные интегрированием по τ неравенства Фридрихса на трапеции Π^R . Одномерное неравенство Фридрихса на отрезке $(0, 1) \ni \xi_3$ после дополнительного интегрирования приводит к соотношению

$$\pi^2 \|\mathcal{V}_T^\kappa; L^2(K_R)\|^2 \leq \|\nabla_\xi \mathcal{V}_T^\kappa; L^2(K_R)\|^2. \quad (2.33)$$

Теперь при помощи соотношений (2.31)–(2.33) преобразуем равенство (2.30) в оценку

$$\begin{aligned} M_1 e^{R\sqrt{2}\kappa} &\geq M_1 \|\mathcal{V}_T^\kappa; L^2(\Xi(R))\|^2 \geq \delta \|\nabla_\xi \mathcal{V}_T^\kappa; L^2(\Xi)\|^2 \\ &\quad + ((1 - \delta)\pi^2 - M_1 - \kappa) \|\mathcal{V}_T^\kappa; L^2(K_R)\|^2 \\ &\quad + \sum_{j=1,2} \left(\frac{1}{2} (M_1 + \Lambda_1) - M_1 - \kappa \right) \|\mathcal{V}_T^\kappa; L^2(\Sigma_R^j)\|^2. \end{aligned}$$

Взяв $\delta > 0$ и $\kappa > 0$ достаточно малыми, обнаруживаем, что множители при нормах $\|\mathcal{V}_T^\kappa; L^2(K_R)\|$ и $\|\mathcal{V}_T^\kappa; L^2(\Sigma_R^j)\|$ положительны, а значит, выполнена равномерная оценка

$$\|\nabla_\xi \mathcal{V}_T^\kappa; L^2(\Xi)\|^2 + \|\mathcal{V}_T^\kappa; L^2(\Xi)\|^2 \leq \mathcal{M}. \quad (2.34)$$

Поскольку весовой множитель (2.29) монотонно возрастает при увеличении параметра T , переход в неравенстве (2.34) к пределу при $T \rightarrow +\infty$ обеспечивает следующее утверждение, подтверждающее упоминавшееся свойство затухания на бесконечности собственной функции V_1 .

Теорема 2.3. Для найденной первой собственной функции $V_1 \in H_0^1(\Xi; \Upsilon)$ задачи (2.13) верна весовая оценка

$$\|e^{\kappa\rho}\nabla_{\xi}V_1; L^2(\Xi)\|^2 + \|e^{\kappa\rho}V_1; L^2(\Xi)\|^2 \leq \mathcal{K}, \quad (2.35)$$

где κ и \mathcal{K} — некоторые положительные числа и $\rho = \sqrt{\xi_1^2 + \xi_2^2}$.

2.5. Замечания о пороговых резонансах. Плоская задача (2.1)–(2.3) уже давно была исследована в объёме, достаточном для целей асимптотического анализа в данной работе. В то же время для пространственной задачи (2.13) целый ряд важных вопросов все же остался без ответов, например, кратность дискретного спектра и возникновение пороговых резонансов.

В плоской области (1.14) пороговый резонанс (см. статьи [39], [40] и др.) обусловлен появлением у задачи с пороговым спектральным параметром $\Lambda = \pi^2$ нетривиального ограниченного решения, захваченной (исчезающей на бесконечности) или почти стоячей (стабилизирующейся на бесконечности) волны. Установить отсутствие таких решений в задаче (2.1)–(2.3) нетрудно: в случае условия Дирихле на торце годится метод [26], а в случае условий Неймана нужно применить неравенство (2.11), означающее, что второе собственное число задачи в треугольнике $\{\eta \in \Pi : \eta_1 < 1\}$ строго больше точки отсечки π^2 , а также достаточное условие [41], [42] или первый из двух критериев [32] отсутствия порогового резонанса.

В пространственной задаче (2.13) на слоевидных областях (1.20)–(1.22) само понятие порогового резонанса нуждается в уточнении, так как асимптотика её решения на бесконечности при $M = \Lambda_1$ неизвестна (теорема 2.3 относится только к случаю $M < \Lambda_1$). Впрочем, в этой задаче на области (1.21) допустимо продолжение по четности на множество $\mathbb{R} \times \Pi$ с последующим применением преобразования Фурье по переменной ξ_1 , а нужное ограниченное решение имеет вид $\xi \mapsto W_1(\xi_2, \xi_3)$. Кстати, именно ввиду указанного порогового резонанса в области Ξ_{\square} , заданной формулой (1.21), далее предельная задача (4.1) на отрезке $(-1, 1) \ni y_1$ приобретает краевое условие Неймана. Влияние пороговых резонансов на постановку краевых условий в предельных задачах также обсуждается в п. 3 §5.

Очередное утверждение о разрешимости уравнения Гельмгольца в скошенной полуполосе (1.14)

$$-\Delta_{\eta}w(\eta) - \pi^2w(\eta) = F(\eta), \quad \eta \in \Pi, \quad (2.36)$$

с краевыми условиями (2.2) и (2.3) получается конкретизацией общих результатов из книги [28, гл. 5] и статьи [40], однако для удобства читателя воспроизведем краткое его доказательство. С этой целью определим экспоненциальное весовое пространство Соболева $\mathcal{W}_{\beta}^1(\Pi)$ (пространство Кондратьева; см. первоисточник [43] и, например, книги [28], [44]) как пополнение линейного множества $C_c^{\infty}(\overline{\Pi})$ по норме

$$\|w; \mathcal{W}_{\beta}^1(\Pi)\| = \|e^{\beta m}w; H^1(\Pi)\|, \quad (2.37)$$

где $\beta \in \mathbb{R}$ — весовой индекс. Пространство $\mathcal{W}_{\beta}^1(\Pi)$ состоит из тех функций $w \in H_{loc}^1(\overline{\Pi})$, для которых конечна норма (2.37), и в случае $\beta = 0$ совпадает с $H^1(\Pi)$, но при $\beta > 0$ функции из $\mathcal{W}_{\beta}^1(\Pi)$ исчезают на бесконечности, а при $\beta < 0$ им разрешен некоторый рост, причём скоростью затухания/роста управляет именно весовой индекс. Через $\mathcal{W}_{\beta}^{1,0}(\Pi)$ обозначим подпространство функций, подчинённых условиям Дирихле из списка (2.2), (2.3).

Под обобщённым решением задачи (2.36), (2.2), (2.3) в весовых классах, как обычно, понимаем функцию $w \in \mathcal{W}_{\beta}^{1,0}(\Pi)$, удовлетворяющую интегральному тождеству

$$(\nabla_{\eta}w, \nabla_{\eta}\psi)_{\Pi} - \pi^2(w, \psi)_{\Pi} = f(\psi) \quad \forall \psi \in \mathcal{W}_{-\beta}^{1,0}(\Pi), \quad (2.38)$$

где $f \in (\mathcal{W}_{-\beta}^{1,0}(\Pi))^*$ — линейный непрерывный функционал на пространстве $\mathcal{W}_{-\beta}^{1,0}(\Pi)$, например,

$$f(\psi) = (F, \psi)_{\Pi} \quad \text{при} \quad e^{\beta \eta_1} F \in L^2(\Pi).$$

Задаче (2.38) отвечает непрерывное отображение

$$\mathcal{W}_{\beta}^{1,0}(\Pi) \ni w \quad \mapsto \quad \mathcal{A}_{\beta} w := f \in (\mathcal{W}_{-\beta}^{1,0}(\Pi))^*.$$

Предложение 2.2. 1) Операторы \mathcal{A}_{β} и $\mathcal{A}_{-\beta}$ взаимно сопряжённые. Они оказываются фредгольмовыми в случае $\beta \in (0, \pi\sqrt{3})$, но теряют это свойство при $\beta = 0$ и $\beta = \pi\sqrt{3}$.

2) Если $\beta \in (0, \pi\sqrt{3})$ и $f \in (\mathcal{W}_{-\beta}^{1,0}(\Pi))^* \subset (\mathcal{W}_{\beta}^{1,0}(\Pi))^*$, то у задачи (2.38), в которой произведена замена $\beta \mapsto -\beta$, есть единственное (ограниченное) решение $w \in \mathcal{W}_{-\beta}^{1,0}(\Pi)$, представимое в виде

$$w(\eta) = (1 - \chi(\eta_1 - 1))a \sin(\pi\eta_2) + \tilde{w}(\eta), \quad (2.39)$$

где $\tilde{w} \in \mathcal{W}_{\beta}^{1,0}(\Pi)$, $a \in \mathbb{R}$, χ — срезка (2.5), и верна оценка

$$(\|\tilde{w}; \mathcal{W}_{\beta}^{1,0}(\Pi)\|^2 + |a|^2)^{\frac{1}{2}} \leq c_{\beta} \|f; (\mathcal{W}_{-\beta}^{1,0}(\Pi))^*\|, \quad (2.40)$$

причём множитель c_{β} не зависит от функционала f , но неограниченно возрастает при $\beta \rightarrow +0$ или $\beta \rightarrow \pi\sqrt{3} - 0$.

Доказательство. Прежде всего заметим, что решениями задачи Дирихле для однородного ($F = 0$) уравнения (2.36) в цельной полосе $\mathbb{R} \times (0, 1)$ служат функции

$$\eta_1 \sin(\pi\eta_2) \quad \text{и} \quad e^{\pm \eta_1 \pi \sqrt{k^2 - 1}} \sin(\pi k \eta_2), \quad k = 1, 2, 3, \dots \quad (2.41)$$

Итак, первое утверждение — следствие классической теоремы Кондратьева [43] (простое изложение теории представлено во вводной главе 2 монографии [28]), причём ограничение на величину β помещает весовые индексы $\pm\beta$ между «запретными» индексами 0 и $\pm\pi\sqrt{3}$, взятыми из последней формулы (2.41) при $k = 1, 2$.

Отсутствие порогового резонанса в задаче (1.1)–(1.3) означает, в частности, что оператор \mathcal{A}_{β} при $\beta > 0$ — мономорфизм. Следовательно, в случае $\beta \in (0, \pi\sqrt{3})$ оператор $\mathcal{A}_{-\beta}$ — эпиморфизм. Теорема 4.3.3 [28] о приращении индекса в переложении для цилиндрических областей показывают, что $\text{Ind } \mathcal{A}_{\beta} - \text{Ind } \mathcal{A}_{-\beta} = -2$, где два — количество решений в списке (2.41) с полиномиальным ростом на бесконечности. Поскольку

$$\text{Ind } \mathcal{A} = \dim \ker \mathcal{A} - \dim \text{coker } \mathcal{A} \quad \text{и} \quad \dim \ker \mathcal{A}_{\beta} = 0, \quad \dim \text{coker } \mathcal{A}_{-\beta} = 0,$$

обнаруживаем, что $\text{Ind } \mathcal{A}_{-\beta} = -1$, а значит, сужение оператора $\mathcal{A}_{-\beta}$ на подпространство $\mathcal{W}_{\beta \oplus}^{1,0}(\Pi)$ функций из $\mathcal{W}_{-\beta}^{1,0}(\Pi)$, допускающих представление (2.39), которое снабдим нормой из левой части (2.40), приобретает нулевой индекс и становится изоморфизмом ввиду отсутствия захваченных волн на пороговой частоте. Таким образом, проверено и второе утверждение, т.е. предложение доказано полностью. Отметим, что введённое подпространство называется весовым классом с отделённой асимптотикой. \square

Замечание 2.2. При проверке предложения 2.2 было установлено равенство

$$\dim \ker \mathcal{A}_{-\beta} = 1.$$

Нетрудно усмотреть, что при $K = N, D$ подпространство $\ker \mathcal{A}_{-\beta}$ натянуто на решение \mathbf{W}_K однородной задачи (2.1)–(2.3)_K с параметром $\Lambda = \pi^2$, которое имеет линейный рост на бесконечности и допускает представление

$$\mathbf{W}_K(\eta) = \sin(\pi\eta_2)(\eta_1 - \mathbf{C}_K) + \widetilde{\mathbf{W}}_K(\eta), \quad (2.42)$$

где \mathbf{C}_K — некоторая постоянная, а остаток $\widetilde{\mathbf{W}}_K \in \mathcal{W}_\beta^1(\Pi)$ затухает на бесконечности со скоростью $O(e^{-\eta_1 \pi \sqrt{3}})$ и оказывается бесконечно дифференцируемым всюду на множестве $\overline{\Pi}$, кроме угловых точек \mathcal{P}_0 и \mathcal{P}_1 . Подчеркнём, что функция (2.42) не попадает в пространство $\mathcal{W}_{\beta \oplus}^{1,0}(\Pi)$, и введём востребованную далее разность

$$\widehat{\mathbf{W}}_K(\eta) = \mathbf{W}_K(\eta) - \sin(\pi\eta_2)\eta_1 = -\mathbf{C}_K \sin(\pi\eta_2) + \widetilde{\mathbf{W}}_K(\eta), \quad (2.43)$$

которая, обладает нужным далее поведением на бесконечности, принадлежит некому весовому пространству с отделённой асимптотикой, но не удовлетворяет краевому условию (2.3).

3. ОТСУТСТВИЕ ЭФФЕКТА ЛОКАЛИЗАЦИИ

3.1. Привычные асимптотические конструкции. Приёмы, используемые в данном параграфе, широко известны в случае краевых условий Неймана на основаниях тонких областей (см. монографию [25] и приведенную в ней литературу), но их приспособление к условиям Дирихле требует минимальных усилий в случае перехода к смешанным краевым условиям исключительно благодаря постановке условий Неймана только на перпендикулярных основаниям боковых гранях многогранника Ω^ε . Переход к условиям Дирихле на всей границе $\partial\Omega$ требует лишь буквального повторения приведенных далее рассуждений и выкладок.

В ситуации (1.6) примем простейшие анзацы для собственных пар задачи (1.1)–(1.3)

$$\lambda^\varepsilon(x) = \varepsilon^{-2}\pi^2 + \mu + \dots, \quad (3.1)$$

$$u^\varepsilon(x) = \sin(\pi\varepsilon^{-1}z)v(y) + \dots, \quad (3.2)$$

где, как обычно, многоточие заменяют младшие члены асимптотик. После подстановки анзацев в дифференциальное уравнение и краевые условия обнаруживаем, что главные асимптотические члены взаимно уничтожаются, а для пары $\{\mu; v\}$ получаем смешанную краевую задачу в квадрате

$$\begin{aligned} -\Delta_y v(y) &= \mu v(y), \quad y \in \square_1, \\ v(y_1, \pm 1) &= 0, \quad |y_1| < 1, \quad \pm \frac{\partial v}{\partial y_1}(\pm 1, y_2) = 0, \quad |y_2| < 1. \end{aligned} \quad (3.3)$$

Собственные пары этой задачи

$$\{\mu_{(p,q)}; v_{(p,q)}(y)\} = \left\{ \frac{\pi^2}{4}(p^2 + q^2), \cos\left(\frac{\pi}{2}p(y_1 - 1)\right) \sin\left(\frac{\pi}{2}q(y_2 - 1)\right) \right\} \quad (3.4)$$

фигурируют в формулах (1.10) и (1.11). Перенумеруем собственные числа, составив монотонную неограниченную последовательность

$$0 < \mu_1 < \mu_2 \leq \mu_3 \leq \dots \leq \mu_m \leq \dots \rightarrow +\infty. \quad (3.5)$$

Соответствующие собственные функции задачи (3.3) подчиним условиям ортогональности и нормировки

$$(v_m, v_n)_\omega = \delta_{m,n}, \quad m, n \in \mathbb{N}. \quad (3.6)$$

Поясним выбор краевых условий: если условия Неймана получены в результате непосредственной подстановки анзаца (3.2) в краевое условие (1.3) на гранях (1.7), то условия Дирихле назначены для того, чтобы уменьшить невязки в краевом условии (1.2) на других гранях (1.6). Главный член невязки порождён формулой Тейлора

$$\begin{aligned} v_{(p,q)}(y) &= C_p(y_1) \sin\left(\frac{\pi}{2}q(y_2 - 1)\right) = C_p(y_1) (A_q^\pm(y_2 \mp 1) + O(|y_2 \mp 1|^3)) \\ &= \varepsilon C_p(y_1) (\mp A_q^\pm \eta_1^\pm + O(\varepsilon^2 |\eta_1^\pm|^3)). \end{aligned} \quad (3.7)$$

Здесь использованы растянутые координаты (1.15), а также функция и числа

$$C_p(y_1) = \cos\left(\frac{\pi}{2}p(y_1 - 1)\right) \quad \text{и} \quad A_q^\pm = \frac{\pi}{2}(\pm 1)^q q. \quad (3.8)$$

Слагаемые порядка ε из (3.7), умноженные на $\sin(\pi\eta_2^\pm)$ согласно анзацу (3.2), компенсируются пограничными слоями

$$\varepsilon \tilde{w}^\pm(y_1, \eta^\pm) = \mp \varepsilon C_p(y_1) A_q^\pm \widetilde{\mathbf{W}}_D(\eta^\pm), \quad (3.9)$$

где $\widetilde{\mathbf{W}}_D$ — экспоненциально затухающий при $\eta_1^\pm \rightarrow +\infty$ остаток в решении (2.42) задачи (2.1)–(2.3)_D при $\Lambda = \pi^2$.

В силу представления (2.42) функции (3.9) порождают дополнительные невязки в краевых условиях Дирихле на скошенных гранях (1.16), которые уничтожим посредством уточнения асимптотических анзацев (3.1) и (3.2) младшими членами $\varepsilon \mu'_{(p,q)}$ и $\varepsilon \sin(\pi\varepsilon^{-1}z)v'_{(p,q)}$ соответственно, отыскиваемыми из задачи

$$\begin{aligned} -\Delta_y v'_{(p,q)}(y) - \mu_{(p,q)} v'_{(p,q)}(y) &= \mu'_{(p,q)} v_{(p,q)}(y), \quad y \in \square_1, \\ v'_{(p,q)}(y_1, \pm 1) &= \pm \mathbf{C}_D A_q^\pm C_p(y_1), \quad |y_1| < 1, \quad \pm \frac{\partial v'_{(p,q)}}{\partial y_1}(\pm 1, y_2) = 0, \quad |y_2| < 1. \end{aligned} \quad (3.10)$$

Коэффициент \mathbf{C}_D взят из представления (2.43) функции \mathbf{W}_D , а также краевого условия на торце γ полуполосы Π для экспоненциально затухающего остатка в этом представлении:

$$\widetilde{\mathbf{W}}_D(\eta) = \sin(\pi\eta_2)(\mathbf{C}_D - \eta_1) \quad \text{на} \quad \gamma.$$

В случае простого собственного числа $\mu_{(p,q)}$ условием разрешимости задачи (3.10) служит соотношение

$$\mu'_{(p,q)} = \mu'_{(p,q)} \|v_{(p,q)}; L^2(\square_1)\|^2 = \int_{-1}^1 \sum_{\pm} \pm \frac{\partial v_{(p,q)}(y)}{\partial y_2} v'_{(p,q)}(y) \Big|_{y_2=\pm 1} dy_1 = \mathbf{C}_D \frac{\pi^2}{2} q^2. \quad (3.11)$$

В итоге число (3.11) и решение задачи (3.10), а также пограничные слои (3.9) определяют поправочные члены асимптотических анзацев. В случае кратного собственного числа $\mu_{(p,q)}$ процедура построения поправок немного усложняется (см. монографии [22, гл. 16], [25, гл. 7] и многие отдельные публикации), однако воспроизводить соответствующие рассуждения не будем, так как при выводе оценки остатка $\tilde{\lambda}_{(p,q)}^\varepsilon$ в разложении (1.10) поправочные слагаемые не понадобятся.

Замечание 3.1. В этом и следующем параграфах пограничные слои не возникают около граней (1.7) многогранника (1.4). Этому обстоятельству можно найти простое объяснение. Продолжим собственные функции u_m^ε задачи (1.1)–(1.3) по четности через плоскость $\{x : y_1 = 1\}$ и назначим на перпендикулярных оси абсцисс гранях многогранника $\{x : y_1 \in (-1, 3), |y_2| < 1 - z, z \in (0, \varepsilon)\}$ условия периодичности

$$\begin{aligned} u^\varepsilon(+1, y_2, z) &= u^\varepsilon(-1, y_2, z), \\ \frac{\partial u^\varepsilon}{\partial y_1}(+1, y_2, z) &= \frac{\partial u^\varepsilon}{\partial y_1}(-1, y_2, z), \quad z \in (0, \varepsilon), \quad |y_2| < 1 - z. \end{aligned}$$

При этом собственные функции новой задачи приобретают гладкую и периодическую зависимость от переменной $y_1 \in [-1, 3]$, которая (зависимость) наследуется и собственными функциями исходной задачи в Ω^ε , а значит, пограничные слои в направлении оси y_1 возникнуть не могут.

3.2. Абстрактная формулировка исходной задачи. В гильбертовом пространстве $\mathcal{H}^\varepsilon := H_0^1(\Omega^\varepsilon; \Gamma_D^\varepsilon)$ введем скалярное произведение

$$\langle u^\varepsilon, \psi^\varepsilon \rangle_\varepsilon = (\nabla_x u^\varepsilon, \nabla_x \psi^\varepsilon)_{\Omega^\varepsilon}, \quad (3.12)$$

а также положительный, симметричный и непрерывный, а значит, самосопряжённый оператор \mathcal{T}^ε ,

$$\langle \mathcal{T}^\varepsilon u^\varepsilon, \psi^\varepsilon \rangle_\varepsilon = (u^\varepsilon, \psi^\varepsilon)_{\Omega^\varepsilon} \quad \forall u^\varepsilon, \psi^\varepsilon \in \mathcal{H}^\varepsilon. \quad (3.13)$$

Оператор \mathcal{T}^ε компактный, т.е. согласно теоремам 10.1.5 и 10.2.2 [30] его существенный спектр — точка $\tau = 0$, а дискретный спектр образует монотонную положительную бесконечно малую последовательность собственных чисел

$$\tau_1^\varepsilon \geq \tau_2^\varepsilon \geq \tau_3^\varepsilon \geq \dots \geq \tau_m^\varepsilon \geq \dots \rightarrow +0. \quad (3.14)$$

Сравнивая формулы (3.12), (3.13) и (1.9), видим, что вариационная постановка задачи (1.1)–(1.3) эквивалентна абстрактному уравнению

$$\mathcal{T}^\varepsilon u^\varepsilon = \tau^\varepsilon u^\varepsilon \quad \text{в пространстве } \mathcal{H}^\varepsilon$$

со спектральным параметром

$$\tau^\varepsilon = (\lambda^\varepsilon)^{-1}. \quad (3.15)$$

Следующее утверждение, известное как лемма о «почти собственных» числах и векторах (см. первоисточник [45]), обеспечено спектральным разложением резольвенты (см., например, [30, гл. 6]).

Лемма 3.1. Пусть $U^\varepsilon \in \mathcal{H}^\varepsilon$ и $t^\varepsilon \in \mathbb{R}_+$ таковы, что

$$\|U^\varepsilon; \mathcal{H}^\varepsilon\| = 1, \quad \|\mathcal{T}^\varepsilon U^\varepsilon - t^\varepsilon U^\varepsilon; \mathcal{H}^\varepsilon\| =: \delta^\varepsilon \in [0, t^\varepsilon]. \quad (3.16)$$

Тогда у оператора \mathcal{T}^ε есть собственное число $\tau_{n(\varepsilon)}^\varepsilon$, подчинённое неравенству

$$|t^\varepsilon - \tau_{n(\varepsilon)}^\varepsilon| \leq \delta^\varepsilon.$$

Более того, для любого $\delta_*^\varepsilon \in (\delta^\varepsilon, t^\varepsilon)$ найдётся столбец коэффициентов

$$\mathcal{C}^\varepsilon = (\mathcal{C}_{N^\varepsilon}^\varepsilon, \dots, \mathcal{C}_{N^\varepsilon + \chi^\varepsilon - 1}^\varepsilon),$$

для которого выполнены соотношения

$$\left\| U^\varepsilon - \sum_{\ell=N^\varepsilon}^{N^\varepsilon + \chi^\varepsilon - 1} \mathcal{C}_\ell^\varepsilon \mathcal{U}_\ell^\varepsilon; \mathcal{H}^\varepsilon \right\| \leq 2 \frac{\delta^\varepsilon}{\delta_*^\varepsilon}, \quad \sum_{\ell=N^\varepsilon}^{N^\varepsilon + \chi^\varepsilon - 1} |\mathcal{C}_\ell^\varepsilon|^2 = 1, \quad (3.17)$$

где $\tau_{N^\varepsilon}^\varepsilon, \dots, \tau_{N^\varepsilon + \chi^\varepsilon - 1}^\varepsilon$ — набор всех собственных чисел (3.14) оператора \mathcal{T}^ε из сегмента $[t^\varepsilon - \delta_*^\varepsilon, t^\varepsilon + \delta_*^\varepsilon]$, а соответствующие собственные векторы $\mathcal{U}_{N^\varepsilon}^\varepsilon, \dots, \mathcal{U}_{N^\varepsilon + \chi^\varepsilon - 1}^\varepsilon$ подчинены условиям ортогональности и нормировки

$$\langle \mathcal{U}_p^\varepsilon, \mathcal{U}_q^\varepsilon \rangle_\varepsilon = \delta_{p,q}. \quad (3.18)$$

3.3. Асимптотика собственных чисел. В качестве компонент «почти собственной» пары $\{t_{(p,q)}^\varepsilon; U_{(p,q)}^\varepsilon\}$ возьмём выражения

$$t_{(p,q)}^\varepsilon = \varepsilon^2 (\pi^2 + \varepsilon^2 \mu_{(p,q)})^{-1}, \quad U_{(p,q)}^\varepsilon = \|v_{(p,q)}^\varepsilon; \mathcal{H}^\varepsilon\|^{-1} v_{(p,q)}^\varepsilon, \quad (3.19)$$

причём

$$\begin{aligned} v_{(p,q)}^\varepsilon(x) &= \sin\left(\pi \frac{z}{\varepsilon}\right) X^\varepsilon(y_2) \left(v_{(p,q)}(y) - \sum_{\pm} \chi_{\pm}(y_2) C_p(y_1) A_q^\pm(y_2 \mp 1) \right) \\ &+ \varepsilon \sum_{\pm} \mp \chi_{\pm}(y_2) A_q^\pm C_p(y_1) \mathbf{W}_q(\eta^\pm). \end{aligned} \quad (3.20)$$

Здесь фигурируют собственная пара (3.4) задачи (3.3) с индексами $p \in \mathbb{N}_0$, $q \in \mathbb{N}$, величины (3.8) и (2.42), а также срезающие функции

$$\begin{aligned} \chi_{\pm}(y_2) &= \chi(1 \mp y_2), \\ X^{\varepsilon}(y_2) &= 1 \quad \text{при } |y_2| \leq 1 - 2\varepsilon \quad \text{и} \quad X^{\varepsilon}(y_2) = 0 \quad \text{при } |y_2| \geq 1 - \varepsilon, \\ X^{\varepsilon} &\in C_c^{\infty}(\mathbb{R}), \quad 0 \leq X^{\varepsilon}(y_2) \leq 1, \quad \left| \frac{d^j X^{\varepsilon}}{dy_2^j}(y_2) \right| \leq c_j \varepsilon^{-j}, \quad j \in \mathbb{N}_0. \end{aligned} \quad (3.21)$$

Заметим, что, во-первых, благодаря выбору ингредиентов $v_{(p,q)}^{\varepsilon}$ и C_p функция (3.20) удовлетворяет краевым условиям (1.2), (1.3), и во-вторых,

$$\frac{\partial v_{(p,q)}^{\varepsilon}}{\partial z}(x) - v_{(p,q)}(y) \frac{\pi}{\varepsilon} \cos\left(\frac{\pi}{\varepsilon} z\right) = O\left(\varepsilon + e^{-\frac{1-|y_2|}{\varepsilon}} \max\left\{1, (\varrho_{\pm}^{\varepsilon})^{-\frac{1}{3}}\right\}\right),$$

где $\varrho_{\pm}^{\varepsilon} = (|y_2| - 1 + \varepsilon)^2 + z^2)^{\frac{1}{2}}/\varepsilon$ (ср. разложение (2.4)). Таким образом,

$$\left| \langle v_{(p,q)}^{\varepsilon}, v_{(m,n)}^{\varepsilon} \rangle_{\varepsilon} - \frac{\pi^2}{2\varepsilon} \delta_{p,m} \delta_{q,n} \right| \leq c_{pq,mn} \varepsilon,$$

и, в частности,

$$\begin{aligned} \left| \langle U_{(p,q)}^{\varepsilon}, U_{(m,n)}^{\varepsilon} \rangle_{\varepsilon} - \delta_{p,m} \delta_{q,n} \right| &\leq C_{pq,mn} \varepsilon, \\ \|v_{(p,q)}^{\varepsilon}; \mathcal{H}^{\varepsilon}\| &\geq \mathbf{c}_{(p,q)} \varepsilon^{-\frac{1}{2}}, \quad \mathbf{c}_{(p,q)} > 0. \end{aligned} \quad (3.22)$$

Обработаем величину $\delta_{(p,q)}^{\varepsilon}$ из формулы (3.16), вычисленную по паре (3.19). Имеем

$$\begin{aligned} \delta_{(p,q)}^{\varepsilon} &= \sup \left| \langle \mathcal{T}^{\varepsilon} U_{(p,q)}^{\varepsilon} - t_{(p,q)}^{\varepsilon} U_{(p,q)}^{\varepsilon}, \psi^{\varepsilon} \rangle_{\varepsilon} \right| \\ &= t_{(p,q)}^{\varepsilon} \|v_{(p,q)}^{\varepsilon}; \mathcal{H}^{\varepsilon}\|^{-1} \sup \left| \langle \nabla_x v_{(p,q)}^{\varepsilon}, \nabla_x \psi^{\varepsilon} \rangle_{\Omega^{\varepsilon}} - (\pi^2 \varepsilon^{-2} + \mu_{(p,q)}) \langle v_{(p,q)}^{\varepsilon}, \psi^{\varepsilon} \rangle_{\Omega^{\varepsilon}} \right| \\ &= t_{(p,q)}^{\varepsilon} \|v_{(p,q)}^{\varepsilon}; \mathcal{H}^{\varepsilon}\|^{-1} \sup \left| \langle (\Delta_x + \pi^2 \varepsilon^{-2} + \mu_{(p,q)}) v_{(p,q)}^{\varepsilon}, \psi^{\varepsilon} \rangle_{\Omega^{\varepsilon}} \right|. \end{aligned} \quad (3.23)$$

При этом супремум вычисляется по единичному шару в пространстве $\mathcal{H}^{\varepsilon}$, т.е. $\|\psi^{\varepsilon}; \mathcal{H}^{\varepsilon}\| \leq 1$ и в силу одномерного неравенства Фридрихса выполнено соотношение

$$\frac{1}{\varepsilon^2} \int_{\Omega^{\varepsilon}} |\psi^{\varepsilon}(x)|^2 dydz \leq \frac{1}{\pi^2} \int_0^{\varepsilon} \int_{\square_1} \mathbf{h}_{\varepsilon}(y_2)^{-2} |\psi^{\varepsilon}(x)|^2 dydz \leq \frac{1}{\pi^2} \left\| \frac{\partial \psi^{\varepsilon}}{\partial z}; L^2(\Omega^{\varepsilon}) \right\|^2. \quad (3.24)$$

Здесь $\mathbf{h}_{\varepsilon}(y_2) = \min\{\varepsilon, 1 - |y_2|\}$ — «толщина» области (1.4) и \square_1 — её квадратное основание. Учитывая дифференциальные уравнения, которым удовлетворяют функции $v_{(p,q)}$ и \mathbf{W}_D , а также формулы (2.42) и (2.43) для последней, обнаруживаем что первый сомножитель

$$I_{(p,q)}^{\varepsilon} = (\Delta_x + \pi^2 \varepsilon^{-2} + \mu_{(p,q)}) v_{(p,q)}^{\varepsilon}$$

в последнем скалярном произведении из (3.24) принимает вид

$$\begin{aligned} I_{(p,q)}^{\varepsilon} &= \sin\left(\pi \frac{z}{\varepsilon}\right) \left[\frac{d^2}{dy_2^2}, X^{\varepsilon} \right] \left(v_{(p,q)} - \sum_{\pm} C_p A_q^{\pm}(y_2 \mp 1) \right) \\ &\quad + \varepsilon \sum_{\pm} A_q^{\pm} C_p \left[\frac{d^2}{dy_2^2}, \chi_{\pm} \right] \widehat{\mathbf{W}}_D + \varepsilon \mu_{(p,q)} \sum_{\pm} A_q^{\pm} C_p \chi_{\pm} \widehat{\mathbf{W}}_D =: I_{(p,q)}^{1\varepsilon} + I_{(p,q)}^{2\varepsilon} + I_{(p,q)}^{3\varepsilon}. \end{aligned}$$

Благодаря формуле Тейлора (3.7) и оценке (3.24) получаем, что

$$\left| \langle I_{(p,q)}^{1\varepsilon}, \psi^{\varepsilon} \rangle_{\Omega^{\varepsilon}} \right| \leq c \left(\text{mes}_3 Y^{\varepsilon} \max_{y \in Y^{\varepsilon}} \sum_{j=0,1} \varepsilon^{-2j} (1 - |y_2|)^{4+2j} \right)^{\frac{1}{2}} \sup \|\psi^{\varepsilon}; L^2(\Omega^{\varepsilon})\| \leq c_{(p,q)} \varepsilon^4.$$

В приведенных соотношениях $[\mathfrak{D}, \mathfrak{r}]$ — коммутатор дифференциального оператора \mathfrak{D} со срезающей функцией \mathfrak{r} , Y^ε — множество

$$\text{supp } |\nabla_x X^\varepsilon| = \{x : |y_1| \leq 1, |y_2| \in [1 - 2\varepsilon, 1 - \varepsilon], z \in (0, \varepsilon)\}$$

и его объём $\text{mes}_3 Y^\varepsilon$ равен $4\varepsilon^2$. Поскольку $\text{mes}_3 \text{supp } |\nabla_x \chi_\pm| = O(\varepsilon)$ и функция $\widehat{\mathbf{W}}_D$ ограничена в полуполосе $\overline{\Pi}$, а её производная по η_1 исчезает на бесконечности с экспоненциальной скоростью, обнаруживаем, что

$$\begin{aligned} & |(I_{(p,q)}^{2\varepsilon}, \psi^\varepsilon)_{\Omega^\varepsilon}| + |(I_{(p,q)}^{3\varepsilon}, \psi^\varepsilon)_{\Omega^\varepsilon}| \\ & \leq c\varepsilon \left((\varepsilon^{-2} e^{-\frac{2\kappa}{3\varepsilon}} + 1 + \mu_{(p,q)}) \text{mes}_3 \text{supp } |\nabla_x \chi_\pm| \right)^{\frac{1}{2}} \sup \|\psi^\varepsilon; L^2(\Omega^\varepsilon)\| \leq c_{(p,q)} \varepsilon^{\frac{5}{2}}. \end{aligned}$$

В итоге при учёте формул (3.19) и (3.22) получаем для величины (3.23) оценку

$$\delta_{(p,q)} \leq c_{(p,q)} \varepsilon^2 \varepsilon^{\frac{1}{2}} \varepsilon^{\frac{5}{2}} = c_{(p,q)} \varepsilon^5, \quad (3.25)$$

а значит, по лемме 3.1 найдется собственное число $\tau_{n_{(p,q)}(\varepsilon)}$ оператора \mathcal{T}^ε , для которого (числа) выполнено неравенство

$$\left| \tau_{n_{(p,q)}(\varepsilon)}^\varepsilon - \varepsilon^2 (\pi^2 + \varepsilon^2 \mu_{(p,q)})^{-1} \right| \leq c_{(p,q)} \varepsilon^5. \quad (3.26)$$

Отсюда и из связи (3.15) спектральных параметров вытекает, что

$$\left| \lambda_{n_{(p,q)}(\varepsilon)}^\varepsilon - \varepsilon^{-2} \pi^2 - \mu_{(p,q)} \right| \leq c_{(p,q)} \varepsilon^3 \lambda_{n_{(p,q)}(\varepsilon)}^\varepsilon (\pi^2 + \varepsilon^2 \mu_{(p,q)}). \quad (3.27)$$

Кроме того,

$$\begin{aligned} \lambda_{n_{(p,q)}(\varepsilon)}^\varepsilon & \leq \varepsilon^{-2} \pi^2 + \mu_{(p,q)} + c_{(p,q)} \varepsilon^3 \lambda_{n_{(p,q)}(\varepsilon)}^\varepsilon (\pi^2 + \varepsilon^2 \mu_{(p,q)}) \\ \Rightarrow \lambda_{n_{(p,q)}(\varepsilon)}^\varepsilon & \leq \frac{2}{\varepsilon^2} (\pi^2 + \varepsilon^2 \mu_{(p,q)}) \quad \text{при} \quad c_{(p,q)} \varepsilon^3 (\pi^2 + \varepsilon^2 \mu_{(p,q)}) \leq \frac{1}{2}. \end{aligned} \quad (3.28)$$

В итоге находим, что

$$\left| \lambda_{n_{(p,q)}(\varepsilon)}^\varepsilon - \varepsilon^{-2} \pi^2 - \mu_{(p,q)} \right| \leq 2c_{(p,q)} \varepsilon (\pi^2 + \varepsilon^2 \mu_{(p,q)})^2 \quad (3.29)$$

или окончательно

$$\left| \lambda_{n_{(p,q)}(\varepsilon)}^\varepsilon - \varepsilon^{-2} \pi^2 - \mu_{(p,q)} \right| \leq C_{(p,q)} \varepsilon \quad \text{при} \quad \varepsilon \in (0, \varepsilon_{(p,q)}) \quad (3.30)$$

с выбранными согласно формуле (3.28) положительными величинами $C_{(p,q)}$ и $\varepsilon_{(p,q)}$.

Для того чтобы убедиться в совпадении собственных чисел задачи (1.1)–(1.3) из формул (1.10) и (3.30), понадобятся дополнительные выкладки и рассуждения.

Проверим, что собственному числу $\mu_{(p,q)}$ с кратностью $\varkappa_{(p,q)} > 1$ отвечают не менее $\varkappa_{(p,q)}$ разных собственных чисел $\lambda_{n_{(p,q)}(\varepsilon)}^\varepsilon, \dots, \lambda_{n_{(p,q)}(\varepsilon) + \varkappa_{(p,q)} - 1}^\varepsilon$ из последовательности (1.8). Воспользуемся второй частью леммы 3.1 и обозначим через δ^ε максимальную из обработанных ранее величин $\delta_{(p,q)}^\varepsilon$, а через δ_*^ε — произведение $t^{-1} \delta^\varepsilon$ с множителем $t \in (0, 1)$. Пусть ещё $\mathcal{S}_{n_{(p,q)}(\varepsilon) + k}^\varepsilon$, $k = 0, \dots, \varkappa_{(p,q)} - 1$, — суммы по $\ell = \mathcal{N}^\varepsilon, \dots, \mathcal{N}^\varepsilon + \mathcal{X}^\varepsilon - 1$ из первой формулы в списке (3.17), а $\mathcal{C}_{n_{(p,q)}(\varepsilon) + k}^\varepsilon \in \mathbb{R}^{\mathcal{X}^\varepsilon}$ — столбцы коэффициентов этих линейных комбинаций (при необходимости добавили нулевые члены для выравнивания размеров столбцов). Теперь в силу соотношений (3.18) и (3.22) находим, что

$$\begin{aligned} \left| (\mathcal{C}_{n_{(p,q)}(\varepsilon) + j}^\varepsilon, \mathcal{C}_{n_{(p,q)}(\varepsilon) + k}^\varepsilon)_{\mathbb{R}^{\mathcal{X}^\varepsilon}} - \delta_{j,k} \right| & = \left| \langle \mathcal{S}_{n_{(p,q)}(\varepsilon) + j}^\varepsilon, \mathcal{S}_{n_{(p,q)}(\varepsilon) + k}^\varepsilon \rangle_\varepsilon - \delta_{j,k} \right| \\ & \leq \left| \langle \mathcal{S}_{n_{(p,q)}(\varepsilon) + j}^\varepsilon, \mathcal{S}_{n_{(p,q)}(\varepsilon) + j}^\varepsilon - U_{n_{(p,q)}(\varepsilon) + k}^\varepsilon \rangle_\varepsilon \right| \\ & \quad + \left| \langle \mathcal{S}_{n_{(p,q)}(\varepsilon) + j}^\varepsilon - U_{n_{(p,q)}(\varepsilon) + j}^\varepsilon, U_{n_{(p,q)}(\varepsilon) + k}^\varepsilon \rangle_\varepsilon \right| \\ & \quad + \left| \langle U_{n_{(p,q)}(\varepsilon) + j}^\varepsilon, U_{n_{(p,q)}(\varepsilon) + k}^\varepsilon \rangle_\varepsilon - \delta_{j,k} \right| \leq 2t + 2t + C_{(p,q)} \varepsilon. \end{aligned}$$

Следовательно, при малых t и ε столбцы $C_{n_{(p,q)}(\varepsilon)+1}^\varepsilon, \dots, C_{n_{(p,q)}(\varepsilon)+\varkappa_{(p,q)}-1}^\varepsilon$ почти ортонормированы в евклидовом пространстве $\mathbb{R}^{\mathcal{X}^\varepsilon}$, что возможно лишь в случае

$$\varkappa_{(p,q)} \leq \mathcal{X}^\varepsilon.$$

Иными словами, зафиксировав подходящие $t \in (0, 1)$ и $\varepsilon \in (0, \varepsilon_{(p,q)}]$, обнаруживаем не менее $\varkappa_{(p,q)}$ разных собственных чисел оператора \mathcal{T}^ε , подчинённых оценке (3.26) с увеличенной в t^{-1} раз мажорантой. При помощи прежней выкладки (3.27), (3.28) выводим, что неравенству (3.30) с новыми положительными числами $C_{(p,q)}$ и $\varepsilon_{(p,q)}$ удовлетворяют не менее $\varkappa_{(p,q)}$ разных членов последовательности (1.8). Используя это наблюдение и перебирая собственные числа предельной задачи (3.3), не превосходящие $\mu_{(p,q)}$, получаем априорную оценку собственных чисел исходной задачи (1.1)–(1.3)

$$\lambda_m^\varepsilon \leq \varepsilon^{-2}\pi^2 + c_m. \quad (3.31)$$

3.4. Сходимости. Продолжим нормированную согласно равенству (1.17) при $j, k = m$ собственную функцию u_m^ε нулём с многогранника Ω^ε на параллелепипед

$$\Omega_\square^\varepsilon = (-1, 1)^2 \times (0, \varepsilon)$$

и определим функции

$$u_m^{\varepsilon 0}(y) = \int_0^\varepsilon S^\varepsilon(z) u_m^\varepsilon(y, z) dz, \quad u_m^{\varepsilon \perp}(y, z) = u_m^\varepsilon(y, z) - S^\varepsilon(z) u_m^{\varepsilon 0}(y).$$

Здесь

$$S^\varepsilon(z) = \sqrt{\frac{2}{\varepsilon}} \sin\left(\pi \frac{z}{\varepsilon}\right). \quad (3.32)$$

Понятно, что функция $u_m^{\varepsilon 0}$ обращается в нуль на сторонах v_1^\pm квадрата $\square_1 = (-1, 1)^2$ и попадает в пространство $H_0^1(\square_1; v_1^+ \cup v_1^-)$; здесь

$$v_k^\pm = \{y : |y_k| < 1, y_{3-k} = \pm 1\}, \quad k = 1, 2. \quad (3.33)$$

Кроме того, справедливо условие ортогональности

$$\int_0^\varepsilon S^\varepsilon(z) u_m^{\varepsilon \perp}(y, z) dz = 0 \quad \text{при } y \in \square_1, \quad (3.34)$$

а значит, неравенство Пуанкаре доставляет оценку

$$\|u_m^{\varepsilon \perp}; L^2(\Omega_\square^\varepsilon)\|^2 \leq \frac{\varepsilon^2}{4\pi^2} \|\partial_z u_m^{\varepsilon \perp}; L^2(\Omega_\square^\varepsilon)\|^2. \quad (3.35)$$

Верны соотношения

$$\|u_m^\varepsilon; L^2(\Omega_\square^\varepsilon)\|^2 = \|u_m^{\varepsilon \perp}; L^2(\Omega_\square^\varepsilon)\|^2 + \|u_m^{\varepsilon 0}; L^2(\square_1)\|^2,$$

$$\|\nabla_y u_m^\varepsilon; L^2(\Omega_\square^\varepsilon)\|^2 = \|\nabla_y u_m^{\varepsilon \perp}; L^2(\Omega_\square^\varepsilon)\|^2 + \|\nabla_y u_m^{\varepsilon 0}; L^2(\square_1)\|^2,$$

$$\|\partial_z u_m^\varepsilon; L^2(\Omega_\square^\varepsilon)\|^2 = \|\partial_z u_m^{\varepsilon \perp}; L^2(\Omega_\square^\varepsilon)\|^2 + \int_0^\varepsilon (\partial_z S^\varepsilon(z))^2 dz \|u_m^{\varepsilon 0}; L^2(\square_1)\|^2$$

$$+ 2 \int_{\Omega_\square^\varepsilon} \partial_z u_m^{\varepsilon \perp}(x) u_m^{\varepsilon 0}(y) \partial_z S^\varepsilon(z) dx = \|\partial_z u_m^{\varepsilon \perp}; L^2(\Omega_\square^\varepsilon)\|^2 + \frac{\pi^2}{\varepsilon^2} \|u_m^{\varepsilon 0}; L^2(\square_1)\|^2$$

Последний интеграл по параллелепипеду $\Omega_{\square}^{\varepsilon}$ обратили в нуль посредством интегрирования по частям. Итак, придаём интегральному тождеству (1.9) с пробной функцией $\psi^{\varepsilon} = u_m^{\varepsilon}$ следующий вид:

$$\begin{aligned} & \|\partial_z u_m^{\varepsilon\perp}; L^2(\Omega_{\square}^{\varepsilon})\|^2 + \|\nabla_y u_m^{\varepsilon\perp}; L^2(\Omega_{\square}^{\varepsilon})\|^2 + \|\nabla_y u_m^{\varepsilon 0}; L^2(\square_1)\|^2 \\ & = \left(\lambda_m^{\varepsilon} - \varepsilon^{-2}\pi^2\right) \|u_m^{\varepsilon 0}; L^2(\square_1)\|^2 + \lambda_m^{\varepsilon} \|u_m^{\varepsilon\perp}; L^2(\Omega_{\square}^{\varepsilon})\|^2. \end{aligned}$$

При учёте формул (3.31) и (3.35) выводим отсюда оценки

$$\begin{aligned} & \|\partial_z u_m^{\varepsilon\perp}; L^2(\Omega_{\square}^{\varepsilon})\|^2 - \lambda_m^{\varepsilon} \|u_m^{\varepsilon\perp}; L^2(\Omega_{\square}^{\varepsilon})\|^2 + \|\nabla_y u_m^{\varepsilon 0}; L^2(\square_1)\|^2 \\ & \leq (\lambda_m^{\varepsilon} - \varepsilon^{-2}\pi^2) \|u_m^{\varepsilon 0}; L^2(\square_1)\|^2 \leq c_m \|u_m^{\varepsilon 0}; L^2(\square_1)\|^2 \leq c_m \\ & \Rightarrow \|\nabla_y u_m^{\varepsilon 0}; L^2(\square_1)\|^2 \leq c_m \quad \text{and} \\ & 3\frac{\pi^2}{\varepsilon^2} \|u_m^{\varepsilon\perp}; L^2(\Omega_{\square}^{\varepsilon})\|^2 \leq \left(4\frac{\pi^2}{\varepsilon^2} - \lambda_m^{\varepsilon}\right) \|u_m^{\varepsilon\perp}; L^2(\Omega_{\square}^{\varepsilon})\|^2 \leq c_m. \end{aligned} \quad (3.36)$$

Таким образом, вдоль некоторой бесконечно малой положительной последовательности $\{\varepsilon_j\}_{j \in \mathbb{N}}$ имеют место сходимости

$$\begin{aligned} u_m^{\varepsilon 0} & \rightarrow u_m^{00} \quad \text{слабо в } H_0^1(\square_1; v_1^+ \cup v_1^-) \quad \text{и сильно в } L^2(\square_1), \\ \lambda_m^{\varepsilon} - \varepsilon^{-2}\pi^2 & \rightarrow \mu_m^0, \quad \|u_m^{\varepsilon 0}; L^2(\square_1)\| \rightarrow 1. \end{aligned} \quad (3.37)$$

Теперь в интегральное тождество (1.9) подставим пробную функцию $\psi^{\varepsilon} = S^{\varepsilon}\varphi$, где $\varphi \in C_c^{\infty}(\overline{\square_1} \setminus (v_1^+ \cup v_1^-))$. Как и ранее, условие ортогональности (3.34) показывает, что правая часть полученного соотношения

$$\begin{aligned} & (\nabla_y u_m^{\varepsilon j 0}, \nabla_y \varphi)_{\square_1} - (\lambda_m^{\varepsilon j} - \varepsilon^{-2}\pi^2) (u_m^{\varepsilon j 0}, \varphi)_{\square_1} \\ & = \lambda_m^{\varepsilon j} (u_m^{\varepsilon j \perp}, S^{\varepsilon}\varphi)_{\Omega_{\square}^{\varepsilon}} - (\partial_z u_m^{\varepsilon j \perp}, \varphi \partial_z S^{\varepsilon})_{\Omega_{\square}^{\varepsilon}} - (\nabla_y u_m^{\varepsilon j \perp}, S^{\varepsilon}\nabla_y \varphi)_{\Omega_{\square}^{\varepsilon}} \end{aligned}$$

равна нулю, а значит, сходимости (3.37) обеспечивают интегральное тождество

$$(\nabla_y u_m^{00}, \nabla_y \varphi)_{\square_1} = \mu_m^0 (u_m^{00}, \varphi)_{\square_1},$$

обслуживающее предельную задачу (3.3), так как по замыканию можно перейти к пробным функциям $\varphi \in H_0^1(\square_1; v_1^+ \cup v_1^-)$.

Лемма 3.2. *Предельные переходы (3.37) предоставляют собственную пару предельной задачи (3.3), причём собственная функция u_m^{00} нормирована в пространстве $L^2(\square_1)$.*

3.5. Финальные теоремы об асимптотике. Закончим оправдание асимптотических формул. В частности, нужно проверить, что номер $n_{(p,q)}(\varepsilon)$ собственного числа исходной задачи (1.1)–(1.3) в формуле (3.30) совпадает с номером t собственного числа $\mu_{(p,q)}$ предельной задачи (3.3) в монотонной последовательности (3.5). Рассуждения, приведшие к оценке (3.31), дают неравенство $n_{(p,q)}(\varepsilon) \geq t$. Предположим, что $n_{(p,q)}(\varepsilon) > t$ для бесконечно малой положительной последовательности $\{\varepsilon_j\}_{j \in \mathbb{N}}$. Тогда для номеров $j \in \mathbb{N}$ найдутся собственные числа $\lambda_{\mathbf{n}_j}^{\varepsilon_j} \leq \varepsilon^{-2}\pi^2 + \mu_{(p,q)} + c_{(p,q)}\varepsilon_j^{\frac{1}{2}}$, у которых собственные функции удовлетворяют условиям ортогональности

$$(u_{\mathbf{n}_j}^{\varepsilon_j}, u_q^{\varepsilon})_{\Omega^{\varepsilon}} = 0, \quad q = 1, \dots, t + \varkappa_m - 1,$$

где \varkappa_m — кратность собственного числа μ_m . В итоге предельные переходы (3.37) и оценки (3.36) предоставляют собственное число $\mu^{00} \leq \mu_m$ задачи (3.3), у которого собственная функция $u^{00} \in H_0^1(\square_1; v_1^+ \cup v_1^-)$ ортогональна в пространстве $L^2(\square_1)$ собственным функциям $v_1, \dots, v_{m-1}, v_m, \dots, v_{m+\varkappa_m-1}$. Этот вывод противоречит способу построения последовательности (3.5), т.е. в самом деле $n_{(p,q)}(\varepsilon) = t$. Итак, справедлива

Теорема 3.1. Члены последовательностей (1.8) и (3.5) собственных чисел задач (1.1)–(1.3) и (3.3) соответственно находятся в отношении

$$\left| \lambda_m^\varepsilon - \varepsilon^{-2}\pi^2 - \mu_m \right| \leq c_m \varepsilon \quad \text{при } \varepsilon \in (0, \varepsilon_m],$$

где c_m и ε_m — некоторые положительные числа.

Теорему об асимптотике собственных функций задачи (1.1)–(1.3) сформулируем для простого ($p = 0$, $q \in \mathbb{N}$ или $p = q \in \mathbb{N}$) собственного числа задачи (3.3) — случай кратного собственного числа обрабатывается похожим способом, однако с одной стороны финальная формула становится не столь явной, а с другой её вывод в похожих ситуациях публиковался многократно. Более того, ввиду симметрии области (1.4) некоторые кратные собственные числа (например, пара (p, q) включает нечётное и чётное числа) можно «расщепить» путём постановки¹ искусственных краевых условий Дирихле или Неймана на сечениях

$$\Upsilon_{0k}^\varepsilon = \{x \in \Omega^\varepsilon : y_k = 0\}, \quad k = 1, 2, \quad (3.38)$$

Теорема 3.2. Пусть μ_m — простое собственное число задачи (3.3), а v_m — соответствующая собственная функция (см. (3.4)). Тогда знак нормированной в пространстве $L^2(\Omega^\varepsilon)$ собственной функции u_m^ε задачи (1.1)–(1.3) можно выбрать так, чтобы выполнялась асимптотическая формула

$$\varepsilon \left\| \nabla_x \left(u_m^\varepsilon - \left(\frac{2}{\varepsilon} \right)^{\frac{1}{2}} S^\varepsilon v_m \right); L^2(\Omega^\varepsilon) \right\| + \left\| u_m^\varepsilon - \left(\frac{2}{\varepsilon} \right)^{\frac{1}{2}} S^\varepsilon v_m; L^2(\Omega^\varepsilon) \right\| \leq C_m \varepsilon, \quad (3.39)$$

где S^ε — функция (3.32), C_m и ε_m — некоторые положительные числа и $\varepsilon \in (0, \varepsilon_m]$.

Доказательство. В силу теоремы 3.1 при некотором $h > 0$ интервал $(\varepsilon^{-2}\pi^2 + \mu_m - h, \varepsilon^{-2}\pi^2 + \mu_m + h)$ содержит единственное собственное число λ_m^ε . Связь (3.15) спектральных параметров показывает, что опять-таки при некотором $h > 0$ на замкнутый сегмент

$$[\varepsilon^2(\pi^2 + \varepsilon^2\mu_m)^{-1} - \varepsilon^4 h, \varepsilon^2(\pi^2 + \varepsilon^2\mu_m)^{-1} + \varepsilon^4 h] \quad (3.40)$$

попадает единственное собственное число τ_m^ε оператора \mathcal{T}^ε . В лемме 3.1 берем числа $\delta^\varepsilon \leq c_m \varepsilon^5$ и $\delta_*^\varepsilon = \varepsilon^4 h$ из формул (3.25) и (3.40). Тогда в суммах из соотношений (3.17) фигурирует одно слагаемое, а значит, справедливо неравенство

$$\|U_m^\varepsilon - C_m \mathcal{U}_m^\varepsilon; \mathcal{H}^\varepsilon\| \leq 2(\delta_*^\varepsilon)^{-1} \delta^\varepsilon \leq 2c_m h^{-1} \varepsilon, \quad (3.41)$$

причём $C_m = \pm 1$ в зависимости от выбора знака у собственной функции $\mathcal{U}_m^\varepsilon$.

Осталось сравнить условия нормировок (1.17) и (3.6) собственных функций задач (1.1)–(1.3) и (3.3) с соотношением (3.18) для собственных векторов оператора \mathcal{T}^ε : неравенство (3.41) влечёт за собой оценку (3.39). Отметим лишь, что $L^2(\Omega^\varepsilon)$ -норма вычитаемого $\sqrt{2/\varepsilon} S^\varepsilon v_m$ в левой части (3.39) равна $1 + O(\varepsilon)$. \square

4. ЛОКАЛИЗАЦИЯ ОКОЛО УЗКИХ ГРАНЕЙ МНОГОГРАННИКА

4.1. Формальные асимптотические конструкции. В ситуации (1.5) сделаем растяжение координат (1.15) и перейдем формально к $\varepsilon = 0$. В обоих случаях \pm область (1.4) трансформируется в множество $(-1, 1) \times \Pi \ni (y_1, \eta_1, \eta_2)$, где Π — заостренная полуполоса (1.14). На основании результатов из п. 1 §2 примем асимптотические анзацы

$$\lambda^\varepsilon(x) = \frac{\Lambda_1}{\varepsilon^2} + \mu + \dots,$$

$$u^\varepsilon(x) = W_1\left(\frac{1 \mp y_2}{\varepsilon}, \frac{z}{\varepsilon}\right) w_\pm(y_1) + \dots$$

¹Этот прием используется в следующих двух параграфах.

После их подстановки в исходную задачу (1.1)–(1.3) и сбора коэффициентов при одинаковых степенях малого параметра обнаруживаем, что множители при ε^{-2} в соотношении (1.1) взаимно уничтожаются, а множители при $1 = \varepsilon^0$ образуют обыкновенное дифференциальное уравнение на отрезке $(-1, 1) \ni y_1$. При учёте краевых условий (1.3) на гранях (1.7) выводим две ($\vartheta = \pm$) предельные задачи Неймана

$$-\frac{\partial^2 w_\vartheta}{\partial y_1^2}(y_1) = \mu w_\vartheta(y_1), \quad y_1 \in (-1, 1), \quad \pm \frac{\partial w_\vartheta}{\partial y_1}(\pm 1) = 0 \quad (4.1)$$

(ср. замечание 3.1). Далее индекс ϑ не пишем. Собственные пары

$$\{\mu_p; w_p\} = \left\{ \frac{\pi^2}{4} p^2; \cos\left(\frac{\pi}{2} p(y_1 - 1)\right) \right\}$$

задачи (4.1) были помещены в разложения (1.12) и (1.13).

4.2. Асимптотика собственных чисел. Для того чтобы упростить обоснование асимптотик, воспользуемся симметрией области (1.4) относительно срединного сечения $\Upsilon_{02}^\varepsilon$ (прямоугольник из формулы (3.38)) и назначим искусственные краевые условия

$$\frac{\partial u^\varepsilon}{\partial x_2}(x) = 0 \quad \text{или} \quad u^\varepsilon(x) = 0 \quad \text{при} \quad x \in \Upsilon_{20}^\varepsilon. \quad (4.2)$$

Напомним, что условия Неймана назначены на всей боковой поверхности (1.5), т.е. далее считаем, что соответственно

$$\Gamma_{D+}^\varepsilon = \{\partial\Omega_+^\varepsilon : z \notin (0, \varepsilon)\} \quad \text{или} \quad \Gamma_{D+}^\varepsilon = \{\partial\Omega_+^\varepsilon : z \notin (0, \varepsilon)\} \cup \Upsilon_{02}^\varepsilon. \quad (4.3)$$

При этом исходная задача в многограннике Ω^ε сужена на его половину

$$\Omega_+^\varepsilon = \{x \in \Omega^\varepsilon : y_2 > 0\}.$$

Далее будем использовать обозначение (1.1)–(1.3), (4.2) безотносительно к выбору искусственного краевого условия — оно не сказывается на асимптотических формулах. Вместе с тем чётное в случае (4.2)_N и нечётное в случае (4.2)_D продолжение собственной функции этой задачи с области Ω_+^ε через ось абсцисс на область Ω^ε даёт (гладкую) собственную функцию исходной задачи (1.1)–(1.3).

Введем необходимые изменения в определения из п. 2 §3, но сохраним обозначения для гильбертова пространства \mathcal{H}^ε со скалярным произведением $\langle \cdot, \cdot \rangle_\varepsilon$ и оператора \mathcal{T}^ε в \mathcal{H}^ε .

В качестве «почти собственных» пар задачи в Ω_+^ε возьмём

$$\{t_p^\varepsilon; U_p^\varepsilon\} = \left\{ \varepsilon^2 (\Lambda_1 + \varepsilon^2 \mu_p)^{-1}; \|w_p^\varepsilon; \mathcal{H}^\varepsilon\|^{-1} w_p^\varepsilon \right\}, \quad (4.4)$$

где $p \in \mathbb{N}_0 = \{0, 1, 2, \dots\}$,

$$w_p^\varepsilon(x) = \chi_+(y_2) W_1\left(\frac{1-y_2}{\varepsilon}, \frac{z}{\varepsilon}\right) w_p(y_1), \quad (4.5)$$

а $\{\Lambda_1; W_1\}$ и $\{\mu_p; w_p\}$ — собственные пары задач (2.1)–(2.3) и (4.1) соответственно. Наконец, χ_+ — срезающая функция из списка (3.21).

Отметим, что конструкции (4.4) и (4.5) одинаковы для обоих случаев (4.3), так как краевые условия на удалённой от граней (1.16) части границы $\partial\Omega_+^\varepsilon$ не влияют на главные члены асимптотики. При этом благодаря присутствию срезки χ_+ единственная невязка функции (4.5) в краевой задаче на Ω_+^ε с параметром $\lambda^\varepsilon = \varepsilon^{-2}\Lambda_1 + \mu_p$ появляется в дифференциальном уравнении:

$$(\Delta_x + \varepsilon^{-2}\Lambda_1 + \mu_p)v_p^\varepsilon(x) = \left[\frac{\partial^2}{\partial y_2^2}, \chi_+(y_2) \right] W_1\left(\frac{1-y_2}{\varepsilon}, \frac{z}{\varepsilon}\right) w_p(y_1).$$

Носитель этой невязки расположен на множестве $\{x \in \overline{\Omega^\varepsilon} : 1/3 \leq y_2 \leq 2/3\} \supset \text{supp} |\nabla_y \chi_+|$, где сомножитель W_1 оказывается экспоненциально малым согласно разложению (2.7).

Заметим, что

$$\|v_p^\varepsilon; \mathcal{H}^\varepsilon\|^2 = \int_{-1}^1 |w_p(y_1)|^2 dy_1 \int_{\Pi} |\nabla_\eta(\chi(\varepsilon^{-1}\eta_1)W_1(\eta))|^2 d\eta = \Lambda_1 + O(e^{-\frac{\kappa}{\varepsilon}}) \quad (4.6)$$

при некотором $\kappa > 0$ (см. представление (2.7)), и обработаем величину δ_p^ε из формулы (3.16), найденную по паре (4.4). Имеем

$$\begin{aligned} \delta_p^\varepsilon &= \|\mathcal{T}^\varepsilon U_p^\varepsilon - t_p^\varepsilon U_p^\varepsilon; \mathcal{H}^\varepsilon\| = \sup_{\dots} |\langle \mathcal{T}^\varepsilon U_p^\varepsilon - t_p^\varepsilon U_p^\varepsilon, \psi^\varepsilon \rangle_\varepsilon| \\ &= t_p^\varepsilon \|v_p^\varepsilon; \mathcal{H}^\varepsilon\|^{-1} \sup_{\dots} \left| (\nabla_x v_p^\varepsilon, \nabla_x \psi^\varepsilon)_{\Omega_+^\varepsilon} - (\varepsilon^{-2}\Lambda_1 + \mu_p)(v_p^\varepsilon, \psi^\varepsilon)_{\Omega_+^\varepsilon} \right| \\ &= t_p^\varepsilon \|v_p^\varepsilon; \mathcal{H}^\varepsilon\|^{-1} \sup_{\dots} \left| (\chi_+(\Delta_x + \varepsilon^{-2}\Lambda_1 + \mu_p)(W_1 w_p), \psi^\varepsilon)_{\Omega_+^\varepsilon} \right. \\ &\quad \left. + ([\Delta_x, \chi_+](W_1 w_p), \psi^\varepsilon)_{\Omega_+^\varepsilon} \right|. \end{aligned} \quad (4.7)$$

Здесь супремум вычисляется по единичному шару в пространстве \mathcal{H}^ε , т.е. $\|\psi^\varepsilon; \mathcal{H}^\varepsilon\| \leq 1$, а значит,

$$\|\psi^\varepsilon; L^2(\Omega_+^\varepsilon)\|^2 \leq c_+ \varepsilon^2 \|\nabla_x \psi^\varepsilon; L^2(\Omega_+^\varepsilon)\|^2 = c_+ \varepsilon^2 \|\psi^\varepsilon; \mathcal{H}^\varepsilon\|^2 \leq c_+ \varepsilon^2, \quad c_+ > 0. \quad (4.8)$$

Подчеркнём, что неравенство (4.8) отличается от неравенства (3.24), так как в ситуации (1.5) условия Дирихле не поставлены на гранях (1.16), но сама оценка (4.8) обеспечена предложением 2.1, причём, например, в ней можно взять $c_+ = \Lambda_{\frac{1}{2}}$.

По определению функций W_1 и w_p первое слагаемое в сумме между последними знаками модуля в (4.7) равно нулю. Следовательно, согласно формулам (4.4)–(4.6), (4.8) и (2.7) выполнено неравенство

$$\delta_p^\varepsilon \leq c'_p \varepsilon^2 (\varepsilon(1 + \varepsilon^{-2})e^{-\frac{2\kappa}{\varepsilon}})^{\frac{1}{2}} \sup_{\dots} \|\psi^\varepsilon; L^2(\Omega_+^\varepsilon)\| \leq c_p \varepsilon^{\frac{5}{2}} e^{-\frac{\kappa}{\varepsilon}}.$$

Итак, по лемме 3.1 найдется собственное число $\tau_{n_p(\varepsilon)}^\varepsilon$ оператора \mathcal{T}^ε , для которого верна оценка

$$|\tau_{n_p(\varepsilon)}^\varepsilon - t_p^\varepsilon| \leq c_p \varepsilon^{\frac{5}{2}} e^{-\frac{\kappa}{\varepsilon}}. \quad (4.9)$$

В результате связь (3.16) спектральных параметров и аналогичные (3.26)–(3.29) преобразования устанавливают существования собственного числа $\lambda_{n_p(\varepsilon)}^\varepsilon$ задачи (1.1)–(1.3), (4.2) в области Ω_+^ε , удовлетворяющего соотношению

$$|\lambda_{K n_p(\varepsilon)}^\varepsilon - \varepsilon^{-2}\Lambda_1 - \mu_p| \leq C_p \varepsilon^{-\frac{3}{2}} e^{-\frac{\kappa}{\varepsilon}} \quad \text{при } \varepsilon \in (0, \varepsilon_p]. \quad (4.10)$$

Здесь C_p и ε_p — некоторые положительные числа. Отметим, что соотношения (4.9) и (4.10) относятся к обоим искусственным краевым условиям (4.2), т.е. на самом деле формула (4.10) предоставляет два собственных числа исходной задачи в целой области Ω^ε .

4.3. Сходимости. Замена координат (1.15) со знаком плюс, который далее не пишем, трансформирует область Ω_+^ε в множество $(-1, 1) \times \Pi_{\frac{1}{\varepsilon}}$, а предложение 2.1 при любом $h > 0$ и малых $\varepsilon \in (0, \varepsilon_h]$, $\varepsilon_h > 0$, даёт неравенство

$$\varepsilon^{-2}(\Lambda_1 - h) \|\psi^\varepsilon; L^2(\Omega_+^\varepsilon)\|^2 \leq \|\nabla_x \psi^\varepsilon; L^2(\Omega_+^\varepsilon)\|^2 \quad \forall \psi^\varepsilon \in H_0^1(\Omega_+^\varepsilon; \Gamma_{D_+}^\varepsilon). \quad (4.11)$$

Подставим в интегральное тождество (1.9), обслуживающее задачу (1.1)–(1.3), (4.2), пробную функцию $\psi^\varepsilon = E_\kappa^\varepsilon \mathbf{u}_m^\varepsilon$, где $\mathbf{u}_m^\varepsilon(x) = E_\kappa^\varepsilon(y) u_m^\varepsilon(x)$ и

$$E_\kappa^\varepsilon(y) = \begin{cases} e^{\frac{\kappa}{\varepsilon}(1-y_2)} & \text{при } y_2 \leq 1 - \varepsilon, \\ e^\kappa & \text{при } y_2 \geq 1 - \varepsilon, \end{cases} \quad (4.12)$$

а u_m^ε — нормированная в $L^2(\Omega_+^\varepsilon)$ собственная функция, отвечающая какому-то собственному числу

$$\lambda_m^\varepsilon \leq \varepsilon^{-2}\Lambda_1 + \mathbf{c}_m. \quad (4.13)$$

При этом $\mathbf{c}_m \geq 0$, а $\varepsilon > 0$ — зафиксированное на время малое значение геометрического параметра. В частности, требованию (4.13) удовлетворяют собственные числа, фигурирующие в оценке (4.10).

Прокоммутировав оператор-градиент ∇_x с весовой функцией E_κ^ε несколько раз, приходим к равенству

$$\|\nabla_x \mathbf{u}_m^\varepsilon; L^2(\Omega_+^\varepsilon)\|^2 - \|\mathbf{u}_m^\varepsilon E_{-\kappa}^\varepsilon \nabla_y E_\kappa^\varepsilon; L^2(\Omega_+^\varepsilon)\|^2 = \lambda_m^\varepsilon \|\mathbf{u}_m^\varepsilon; L^2(\Omega_+^\varepsilon)\|^2. \quad (4.14)$$

Заметим, что

$$E_{-\kappa}^\varepsilon(y) |\nabla_x E_\kappa^\varepsilon(y)| = \begin{cases} \frac{\kappa}{\varepsilon} & \text{при } y_2 \leq 1 - \varepsilon, \\ 0 & \text{при } y_2 \geq 1 - \varepsilon, \end{cases} \quad (4.15)$$

и повторим с некоторыми изменениями вычисления, представленные в п. 4 §2. В результате выведем из формул (4.11)–(4.14) следующую весовую оценку, указывающую на концентрацию собственных функций обеих задач в области Ω_+^ε вблизи её грани Γ_+^ε .

Теорема 4.1. *Если собственное число λ_m^ε задачи (1.1)–(1.3), (4.2) подчинено соотношению (4.13), то соответствующая нормированная в $L^2(\Omega_+^\varepsilon)$ собственная функция u_m^ε удовлетворяет оценке*

$$\|E_\kappa^\varepsilon \nabla_x u_m^\varepsilon; L^2(\Omega_+^\varepsilon)\|^2 + \varepsilon^{-2} \|E_\kappa^\varepsilon u_m^\varepsilon; L^2(\Omega_+^\varepsilon)\|^2 \leq \varepsilon^{-2} \mathbf{C}_m \quad \text{при } \varepsilon \in (0, \varepsilon_m], \quad (4.16)$$

где $E_\kappa^\varepsilon(y)$ — весовой множитель (4.12), а κ и $\mathbf{C}_m, \varepsilon_m$ — некоторые положительные числа.

Доказательство. Введём тонкую треугольную призму $\Delta_+^\varepsilon = \{x \in \Omega_+^\varepsilon : y_2 > 1 - \varepsilon\}$. Разность $\Omega_+^\varepsilon \setminus \overline{\Delta_+^\varepsilon}$ — параллелепипед высотой ε , а условия Дирихле на его основаниях обеспечивают неравенство Фридрихса

$$\|\mathbf{u}_m^\varepsilon; L^2(\Omega_+^\varepsilon \setminus \Delta_+^\varepsilon)\|^2 \leq \frac{\varepsilon^2}{\pi^2} \|\nabla_x \mathbf{u}_m^\varepsilon; L^2(\Omega_+^\varepsilon \setminus \Delta_+^\varepsilon)\|^2. \quad (4.17)$$

Имеем

$$\begin{aligned} \varepsilon^{-2} \Lambda_1 e^{2\kappa} &\geq \varepsilon^{-2} \Lambda_1 e^{2\kappa} \|\mathbf{u}_m^\varepsilon; L^2(\Delta_+^\varepsilon)\|^2 \geq \varepsilon^{-2} \Lambda_1 \|\mathbf{u}_m^\varepsilon; L^2(\Delta_+^\varepsilon)\|^2 \\ &= \|\nabla_x \mathbf{u}_m^\varepsilon; L^2(\Omega_+^\varepsilon)\|^2 - \|\mathbf{u}_m^\varepsilon E_{-\kappa}^\varepsilon \nabla_y E_\kappa^\varepsilon; L^2(\Omega_+^\varepsilon \setminus \Delta_+^\varepsilon)\|^2 - \lambda_m^\varepsilon \|\mathbf{u}_m^\varepsilon; L^2(\Omega_+^\varepsilon \setminus \Delta_+^\varepsilon)\|^2 \\ &\quad - (\lambda_m^\varepsilon - \varepsilon^{-2} \Lambda_1) \|\mathbf{u}_m^\varepsilon; L^2(\Delta_+^\varepsilon)\|^2 \geq \delta \|\nabla_x \mathbf{u}_m^\varepsilon; L^2(\Omega_+^\varepsilon)\|^2 \\ &\quad + \left((1 - \delta) \frac{\pi^2}{\varepsilon^2} - \frac{\kappa^2}{\varepsilon^2} - \lambda_m^\varepsilon \right) \|\mathbf{u}_m^\varepsilon; L^2(\Omega_+^\varepsilon \setminus \Delta_+^\varepsilon)\|^2 + \mathbf{c}_m \|\mathbf{u}_m^\varepsilon; L^2(\Delta_+^\varepsilon)\|^2. \end{aligned}$$

Здесь были использованы формулы (4.15) и (4.17), (4.11). Осталось выбрать малые положительные величины δ и κ так, чтобы последний множитель при норме $\|\mathbf{u}_m^\varepsilon; L^2(\Omega_+^\varepsilon \setminus \Delta_+^\varepsilon)\|$ превзошёл $(2\varepsilon)^{-2}(\pi^2 - \Lambda_1)$. Для оценки первого слагаемого в левой части (4.16) нужно ещё раз выполнить коммутирование, учесть формулу (4.15) и наложить ограничение $\varepsilon \in (0, \varepsilon_m]$. Теорема 4.1 доказана. \square

В силу замечания 3.1 собственная функция u_m^ε гладко зависит от переменной y_1 . Введём функции

$$\begin{aligned} w_m^{\varepsilon 0}(y_1) &= \frac{1}{\varepsilon} \int_{\Pi} W_1(\eta) \chi(\varepsilon \eta_1) u_m^\varepsilon(y_1, 1 - \varepsilon \eta_1, \varepsilon \eta_2) d\eta, \\ w_m^{\varepsilon \perp}(y_1, \eta) &= \chi(\varepsilon \eta_1) \varepsilon^{-1} u_m^\varepsilon(y_1, 1 - \varepsilon \eta_1, \varepsilon \eta_2) - W_1(\eta) w_m^{\varepsilon 0}(y_1). \end{aligned} \quad (4.18)$$

Напомним, что $\chi(\varepsilon\eta_1) = \chi_+(y_1)$. В силу требования (2.6) и определений (4.18) выполнено условие ортогональности

$$\int_{\Pi} W_1(\eta) w_m^{\varepsilon\perp}(y_1, \eta) d\eta = 0, \quad (4.19)$$

а значит, при учёте леммы 2.1 выводим неравенства

$$\begin{aligned} \Lambda_{\perp} \|w_m^{\varepsilon\perp}(y_1, \cdot); L^2(\Pi)\|^2 &\leq \|\nabla_{\eta} w_m^{\varepsilon\perp}(y_1, \cdot); L^2(\Pi)\|^2 \\ \text{при всех } y_1 \in (-1, 1) \text{ и каком-то } \Lambda_{\perp} \in (\Lambda_1, \pi^2]. \end{aligned} \quad (4.20)$$

Согласно нормировке (1.17), теореме 4.1 и соотношению (4.19) имеем

$$\begin{aligned} 1 + O(e^{-\frac{\kappa}{3\varepsilon}}) &= \|\chi_+ u_m^{\varepsilon}; L^2(\Omega_+^{\varepsilon})\|^2 = \|w_m^{\varepsilon 0} + w_m^{\varepsilon\perp}; L^2((-1, 1) \times \Pi)\|^2 \\ &= \|w_m^{\varepsilon 0}; L^2(-1, 1)\|^2 + \|w_m^{\varepsilon\perp}; L^2((-1, 1) \times \Pi)\|^2. \end{aligned} \quad (4.21)$$

Интегральному тождеству с пробной функцией $\varepsilon^{-2} \chi_+^2 u_m^{\varepsilon} \in H_0^1(\Omega_+^{\varepsilon}; \Gamma_{D+}^{\varepsilon})$ придаём вид

$$\begin{aligned} &\varepsilon^{-2} (u_m^{\varepsilon} \nabla_x \chi_+, \nabla_x (\chi_+ u_m^{\varepsilon}))_{\Omega_+^{\varepsilon}} - \varepsilon^{-2} (\chi_+ \nabla_x u_m^{\varepsilon}, u_m^{\varepsilon} \nabla_x \chi_+)_{\Omega_+^{\varepsilon}} \\ &= \varepsilon^{-2} \|\nabla_x (\chi_+ u_m^{\varepsilon}); L^2(\Omega_+^{\varepsilon})\|^2 - \varepsilon^{-2} \lambda_m^{\varepsilon} \|\chi_+ u_m^{\varepsilon}; L^2(\Omega_+^{\varepsilon})\|^2 \\ &= \varepsilon^{-2} \|\nabla_{\eta} (W_1 w_m^{\varepsilon 0} + w_m^{\varepsilon\perp}); L^2(\Omega_+^{\varepsilon})\|^2 - \lambda_m^{\varepsilon} \|W_1 w_m^{\varepsilon 0} + w_m^{\varepsilon\perp}; L^2(\Omega_+^{\varepsilon})\|^2 \\ &\quad + \varepsilon^{-2} \left\| \frac{\partial (\chi_+ u_m^{\varepsilon})}{\partial y_1}; L^2(\Omega_+^{\varepsilon}) \right\|^2 \\ &= \|w_m^{\varepsilon 0}; L^2(-1, 1)\|^2 \|\nabla_{\eta} W_1; L^2(\Pi)\|^2 - \varepsilon^2 \lambda_m^{\varepsilon} \|w_p^{\varepsilon 0}; L^2(-1, 1)\|^2 \\ &\quad + \|\nabla_{\eta} w_m^{\varepsilon\perp}; L^2((-1, 1) \times \Pi)\|^2 - \varepsilon^2 \lambda_m^{\varepsilon} \|w_m^{\varepsilon\perp}; L^2((-1, 1) \times \Pi)\|^2 \\ &\quad + 2 \int_{-1}^1 w_m^{\varepsilon 0}(y_1) \int_{\Pi} \nabla_{\eta} W_1(\eta) \nabla_{\eta} w_m^{\varepsilon\perp}(y_1, \eta) d\eta dy_1 + \frac{1}{\varepsilon^2} \left\| \frac{\partial}{\partial y_1} (\chi_+ u_m^{\varepsilon}); L^2(\Omega_+^{\varepsilon}) \right\|^2. \end{aligned} \quad (4.22)$$

Оценка (4.16) показывает, что модуль левой части равенства (4.22) не превосходит величины $c_p \varepsilon^{-3} e^{-\frac{2\kappa}{3\varepsilon}}$. Интеграл по множеству $(-1, 1) \times \Pi$ (предпоследний член в (4.22)) аннулируется при помощи интегрирования по частям, уравнения Гельмгольца для множителя W_1 и условия ортогональности (4.19). Последнее слагаемое отбрасываем ввиду ненужности. Таким образом, в силу формулы (4.20) и ограничения (4.13) выводим оценку

$$\begin{aligned} c_m^{\perp} \|w_m^{\varepsilon\perp}; L^2((-1, 1) \times \Pi)\|^2 &\leq (\Lambda_{\perp} - \varepsilon^2 \lambda_m^{\varepsilon}) \|w_m^{\varepsilon\perp}; L^2((-1, 1) \times \Pi)\|^2 \\ &\leq (\varepsilon^2 \lambda_m^{\varepsilon} - \Lambda_1) \|w_m^{\varepsilon 0}; L^2(-1, 1)\|^2 + c_m \varepsilon^{-3} e^{-\frac{2\kappa}{3\varepsilon}} \leq C_m \varepsilon^2 \end{aligned} \quad (4.23)$$

с некоторым не зависящим от малого параметра $\varepsilon \in (0, \varepsilon_m]$ множителем

$$\frac{c_m^{\perp} (\Lambda_{\perp} - \Lambda_1)}{2} > 0.$$

Проведенные выкладки показывают, что вдоль бесконечно малой положительной последовательности $\{\varepsilon_j\}_{j \in \mathbb{N}}$ имеют место сходимости

$$\begin{aligned} \lambda_m^{\varepsilon} - \varepsilon^{-2} \Lambda_1 &\rightarrow \mu_m^{00}, \\ w_m^{\varepsilon 0} &\rightarrow w_m^{00} \quad \text{сильно в } L^2(-1, 1), \quad \text{причём } \|w_m^{00}; L^2(-1, 1)\| = 1. \end{aligned} \quad (4.24)$$

Возьмём какую-то бесконечно дифференцируемую функцию Ψ переменной $y_1 \in [-1, 1]$, удовлетворяющую условиям

$$\pm \frac{d\Psi}{dy_1}(\pm 1) = 0, \quad (4.25)$$

и умножим уравнение Гельмгольца для собственной пары $\{\lambda_m^\varepsilon; u_m^\varepsilon\}$ на $\varepsilon^{-1}\chi_+W_1\Psi$. Проинтегрировав по частям в области Ω_+^ε и выполнив дифференцирование, получим равенство

$$\begin{aligned} \int_{-1}^1 \left(\left(\lambda_m^\varepsilon - \frac{\Lambda_1}{\varepsilon^2} \right) \Psi(y_1) + \frac{d^2\Psi}{dy_1^2}(y_1) \right) \frac{1}{\varepsilon} \int_{\Pi} W_1(\eta) \chi_+(y_2) u_m^\varepsilon(y, z) dy_1 dz dy_2 \\ = \frac{1}{\varepsilon} \int_{\Omega_+^\varepsilon} \Psi(y_1) u_m^\varepsilon(x) \left[\frac{d^2}{dy_2^2}, \chi_+(y_2) \right] W_1(\eta) dx. \end{aligned}$$

Правая часть — бесконечно малая при $\varepsilon \rightarrow +0$ в силу экспоненциального затухания функций u_m^ε и W_1 (теорема 4.1 и формула (2.7)). Сходимости (4.24) позволяют перейти к пределу в левой части и при учете первого определения (4.18) получить соотношение

$$\int_{-1}^1 w_m^{00}(y_1) \left(\mu_m^{00} \Psi(y_1) + \frac{d^2\Psi}{dy_1^2}(y_1) \right) dy_1 = 0,$$

из которого ввиду произвольности пробной функции $\Psi \in C^\infty[-1, 1]$, подчинённой только граничным условиям (4.24), вытекают включение $w_m^{00} \in H^2(-1, 1)$, а также дифференциальное уравнение и краевые условия в задаче (4.1) (ср. процедуру поднятия гладкости в [15, гл. 2]).

Лемма 4.1. *Предельные переходы (4.24) предоставляют собственную пару $\{\mu_m^{00}; w_m^{00}\}$ предельной задачи (4.1), причём в силу формул (4.21) и (4.23) собственная функция w_p^{00} нормирована в пространстве $L^2(-1, 1)$.*

4.4. Теорема об асимптотике. Ставшие уже стандартными рассуждения из п. 5 §3 с упрощениями, вызванными постановкой искусственных краевых условий (4.2) и простой собственных чисел предельной задачи (4.1), приводят к следующим утверждениям о собственных парах исходной задачи (1.1)–(1.3) в цельной области Ω^ε .

Теорема 4.2. *В ситуации (1.5) при любом $p \in \mathbb{N}$ найдутся такие положительные величины c_p, C_p и ε_p , что при $\varepsilon \in (0, \varepsilon_p]$ для собственных чисел $\lambda_{(p,1)}^\varepsilon := \lambda_{2p}^\varepsilon$ и $\lambda_{(p,2)}^\varepsilon := \lambda_{2p-1}^\varepsilon$ из последовательности (1.8) выполнено представление (1.12), где модули остатков $\tilde{\lambda}_{(p,j)}^\varepsilon$ не превосходят выражения $c_p \varepsilon^{-\frac{3}{2}} e^{-\frac{\kappa}{\varepsilon}}$, а для нормированных в $L^2(\Omega^\varepsilon)$ собственных функций $u_{p,1}^\varepsilon = u_{2p}^\varepsilon$ и $u_{p,2}^\varepsilon = u_{2p-1}^\varepsilon$, чётной и нечётной относительно переменной y_2 , — представления (1.13), в которых $K_{p,1}^\pm = 2^{-\frac{1}{2}}$, $K_{p,2}^\pm = \pm 2^{-\frac{1}{2}}$ и*

$$\varepsilon \left\| \nabla_x \tilde{u}_{p,j}^\varepsilon; L^2(\Omega^\varepsilon) \right\| + \left\| \tilde{u}_{p,j}^\varepsilon; L^2(\Omega^\varepsilon) \right\| \leq C_p \varepsilon^{-\frac{3}{2}} e^{-\frac{\kappa}{\varepsilon}}.$$

В формулах (1.12) и (1.13) фигурирует собственная пара $\{\Lambda_1; W_1\}$ задачи (2.1)–(1.13), предоставленная леммой 2.1.

4.5. Другие асимптотические серии собственных чисел. Формальные асимптотические конструкции из п. 1 §3 без труда приспособляются к задаче (1.1)–(1.3) в ситуации (1.5), и в результате для членов асимптотических анзацев (3.1) и (3.2) выводится предельная задача (3.3). Несколько неожиданным оказывается то, что, несмотря на постановку условий Неймана (1.3) на гранях Γ_\pm^ε , сохраняются условия Дирихле на сторонах v_1^\pm квадрата \square_1 (ср. формулы (1.16) и (3.33)). Причина кроется в том, что согласно общим принципам из [22, гл. 16] и [41] за постановку краевых условий в предельной задаче для тонкой области отвечают не тип краевых условий на торце, а явление порогового резонанса в задаче о пограничном слое. Такой резонанс отсутствует в обеих задачах (2.1)–(2.3)_{N,D} на полуполосе Π (см. п. 5, §2), что и обеспечивает в обеих ситуациях краевое условие Дирихле на сторонах v_1^\pm .

Замечание 4.1. Для того же вывода о предельных краевых условиях на v_1^\pm можно воспользоваться методами составных и сращиваемых асимптотических разложений (см., например, монографии [22], [24] и [46], [47] соответственно). В самом деле, главный член невязки слагаемого $\sin(\pi z/\varepsilon)v(y)$ в краевом условии (1.3) на грани Γ_\pm^ε равен $2^{-\frac{1}{2}}\pi\varepsilon^{-1}\cos(\pi z/\varepsilon)v(y)$ и в первом методе для уменьшения невязки требуется именно условие Дирихле. В рамках второго метода требуется произвести сращивание выражения $\sin(\pi z/\varepsilon)v(y_1, \pm 1)$ с каким-либо решением задачи (2.1)–(2.3)_N в полуполосе Π , но в связи с отсутствием порогового резонанса у этой задачи имеется только тривиальное ограниченное решение и потому приходится положить $v(y_1, \pm 1) = 0$.

Повторение выкладок и рассуждений из п. 3 §3 при использовании функции \mathbf{W}_N вместо функции \mathbf{W}_D (см. формулу (2.42) в замечании 2.2) получаем следующее утверждение.

Теорема 4.3. Для любого $m \in \mathbb{N}$ найдутся такие положительные величины c_m и ε_m , а также номер $n_m(\varepsilon) \in \mathbb{N}$, что для собственного числа задачи (1.1)–(1.3) выполнено соотношение

$$\left| \lambda_{n_m(\varepsilon)}^\varepsilon - \varepsilon^{-2}\pi^2 - \mu_m \right| \leq c_m \varepsilon \quad \text{при } \varepsilon \in (0, \varepsilon_m], \quad (4.26)$$

где μ_m — член последовательности (3.5) предельной задачи (3.3) на квадрате \square_1 .

В отличие от теоремы 3.1 в теореме 4.3 номер $n_m(\varepsilon)$ фигурирующего в формуле (4.26) собственного числа $\lambda_{n_m(\varepsilon)}^\varepsilon$ не определен. Это обстоятельство объясняется тем, что согласно теореме 4.2 в последовательности (1.8) имеются собственные числа порядка $\varepsilon^{-2}\Lambda_1$, меньше, чем $\varepsilon^{-2}\pi^2$, и количество таких чисел на интервале $(0, \varepsilon^{-2}\pi^2)$ неограниченно возрастает при $\varepsilon \rightarrow +0$. Таким образом, номер $n_m(\varepsilon)$ зависит от параметра ε и также стремится к бесконечности при его уменьшении. Иными словами, теоремы 4.2 и 4.3 описывают различные асимптотики собственных чисел задачи (1.1)–(1.3) из условных низко- и среднечастотных диапазонов спектра соответственно.

5. ЛОКАЛИЗАЦИЯ ОКОЛО КОРОТКИХ РЕБЕР МНОГОГРАННИКА

5.1. Формальные асимптотические конструкции. Теперь область Ω^ε на рис. 3, а, задана равенством (1.23), и для упрощения асимптотических процедур назначим на обоих срединных сечениях (3.38) искусственные краевые условия Дирихле или Неймана (всего четыре варианта). Сузим задачу (1.1)–(1.3) на подобласть $\Omega_{\#}^\varepsilon = \{x \in \Omega^\varepsilon : y_j < 0, j = 1, 2\}$ и припишем к её номеру, а также её атрибутам нижний индекс $\#$ — тип искусственных краевых условий не влияет на дальнейшие рассуждения, выкладки и результаты. Введённые для этой задачи в п. 2 §3 объекты также снабдим индексом $\#$ и в качестве «почти собственной» пары возьмём

$$\{t_{1\#}^\varepsilon; U_{1\#}^\varepsilon(x)\} = \{\varepsilon^2 M_1^{-1}; \|\chi_{\#} V_1; \mathcal{H}^\varepsilon\|^{-1} \chi_{\#}(y) V_1(\xi)\}. \quad (5.1)$$

Здесь $\{M_1; V_1\}$ — собственная пара задачи (2.13) в четверти слоя (1.20), предоставленная теоремой 2.2, растянутые координаты ξ имеют вид (2.12) и $\chi_{\#}(y) = \chi(r)$, причём $r = |y - \mathcal{P}^{--}|$ — полярный радиус, $\mathcal{P}^{--} = (-1, -1)$ — вершина квадрата \square_1 и χ — срезающая функция (2.5). В силу теоремы 2.3 нормированная в $L^2(\Xi)$ собственная функция V_1 затухает при $|\xi| \rightarrow +\infty$ с экспоненциальной скоростью, а значит, справедливы соотношения

$$\begin{aligned} \|\chi_{\#} V_1; \mathcal{H}^\varepsilon\|^2 &= \varepsilon (M_1 + O(e^{-\frac{\kappa}{\varepsilon}})), \\ \|(\Delta_x + \varepsilon^{-2} M_1)(\chi_{\#} V_1); L^2(\Omega_{\#}^\varepsilon)\|^2 &= \|[\Delta_x, \chi_{\#}] V_1; L^2(\Omega_{\#}^\varepsilon)\|^2 \\ &\leq c\varepsilon(\varepsilon^{-2} + 1)e^{-\frac{2\kappa}{3\varepsilon}} \leq C\varepsilon^{-1}e^{-\frac{2\kappa}{3\varepsilon}}, \end{aligned}$$

где $\kappa > 0$ — показатель из формулы (2.35). Таким образом, лемма 3.1 предоставляет собственное число оператора \mathcal{T}^ε , подчинённое неравенству

$$|\tau_{n(\varepsilon)\#}^\varepsilon - \varepsilon^2 M_1^{-1}| \leq c\varepsilon e^{-\frac{\kappa}{3\varepsilon}}.$$

Благодаря связи (3.16) спектральных параметров аналогичные (3.26)–(3.29) выкладки показывают, что

$$|\lambda_{n(\varepsilon)\#}^\varepsilon - \varepsilon^{-2} M_1| \leq c_1 \varepsilon^{-3} e^{-\frac{\kappa}{3\varepsilon}} \quad \text{при } \varepsilon \in (0, \varepsilon_1], \quad (5.2)$$

причём c_1 и ε_1 — некоторые положительные числа.

5.2. Обоснование асимптотики. Поскольку кратность дискретного спектра задачи (2.13) осталась неизвестной, обычный способ проверки равенства $n(\varepsilon) = 1$ в оценке (5.2), в частности, доказательства теоремы о сходимости, не годится. Изберем иной путь.

Прежде всего, в силу минимального принципа [30, теорема 10.2.1] получим соотношение

$$\begin{aligned} \lambda_1^\varepsilon &= \min_{\psi^\varepsilon \in \mathcal{H}^\varepsilon} \frac{\|\nabla_x \psi^\varepsilon; L^2(\Omega_\#^\varepsilon)\|^2}{\|\psi^\varepsilon; L^2(\Omega_\#^\varepsilon)\|^2} \leq \frac{\|\nabla_x(\chi_\# V_1); L^2(\Omega_\#^\varepsilon)\|^2}{\|\chi_\# V_1; L^2(\Omega_\#^\varepsilon)\|^2} \\ &\leq \frac{\varepsilon \|\nabla_\xi V_1; L^2(\Xi)\|^2 + c_V^1 \varepsilon e^{-\frac{2\kappa}{3\varepsilon}}}{\varepsilon^3 \|V_1; L^2(\Xi)\|^2 + c_V^0 \varepsilon e^{-\frac{2\kappa}{3\varepsilon}}} \leq \frac{1}{\varepsilon^2} (M_1 + C_V \varepsilon^{-2} e^{-\frac{\kappa}{3\varepsilon}}). \end{aligned} \quad (5.3)$$

Теперь убедимся в том, что собственные функции $u_{m\#}^\varepsilon$ быстро затухают при удалении от точки \mathcal{P}^{++} — способ проверки этого свойства переключается с доказательствами теорем 2.3 и 4.1.

Теорема 5.1. Пусть $\lambda_{m\#}^\varepsilon$ — собственное число задачи (1.1)–(1.3) $_\#$ в подобласти $\Omega_\#^\varepsilon$ с какими-либо искусственными краевыми условиями и выполнено неравенство

$$\varepsilon^2 \lambda_{m\#}^\varepsilon \leq \Lambda_1 - \delta_\# \quad \text{при } \delta_\# > 0.$$

Тогда для соответствующей нормированной в пространстве $L^2(\Omega_\#^\varepsilon)$ собственной функции $u_{m\#}^\varepsilon$ верна весовая оценка

$$\|e^{\frac{\kappa_{m\#} r}{\varepsilon}} \nabla_x u_{m\#}^\varepsilon; L^2(\Omega_\#^\varepsilon)\|^2 + \varepsilon^{-2} \|e^{\frac{\kappa_{m\#} r}{\varepsilon}} u_{m\#}^\varepsilon; L^2(\Omega_\#^\varepsilon)\|^2 \leq C_{m\#} \varepsilon^{-2}, \quad (5.4)$$

где $\varepsilon \in (0, \varepsilon_{m\#}]$, а $\kappa_{m\#}$, $\varepsilon_{m\#}$ и $C_{m\#}$ — некоторые положительные числа.

Доказательство. В интегральное тождество (1.9) $_\#$, обслуживающее задачу (1.1)–(1.3) $_\#$ в области $\Omega_\#^\varepsilon$, подставим произведение $\psi^\varepsilon = e^{\frac{2\kappa r}{\varepsilon}} u_{m\#}^\varepsilon$ с каким-то показателем $\kappa > 0$ и после несложных преобразований получим для функции $\mathbf{u}_m^\varepsilon = e^{\frac{\kappa r}{\varepsilon}} u_{m\#}^\varepsilon$ равенство

$$\|\nabla_x \mathbf{u}_m^\varepsilon; L^2(\Omega_\#^\varepsilon)\|^2 - \|\mathbf{u}_m^\varepsilon e^{-\frac{\kappa r}{\varepsilon}} \nabla_x e^{\frac{\kappa r}{\varepsilon}}; L^2(\Omega_\#^\varepsilon)\|^2 = \lambda_{m\#}^\varepsilon \|\mathbf{u}_m^\varepsilon; L^2(\Omega_\#^\varepsilon)\|^2. \quad (5.5)$$

Заметим, что

$$e^{-\frac{\kappa r}{\varepsilon}} |\nabla_x e^{\frac{\kappa r}{\varepsilon}}| = \kappa \varepsilon^{-1}, \quad (5.6)$$

и разобьём множество $\Omega_\#^\varepsilon$ на четыре части, а именно, $\Xi^\varepsilon(R) = \{x : \xi \in \Xi(R)\}$ (ср. определение (2.23)), $K_R^\varepsilon = \Omega_\#^\varepsilon \setminus (\Sigma_R^{1\varepsilon} \cup \Sigma_R^{2\varepsilon})$ и

$$\begin{aligned} \Sigma_R^{1\varepsilon} &= \{x \in \Omega_\#^\varepsilon : 1 + y_1 > \varepsilon(R - 1), 1 + y_2 < \varepsilon R\}, \\ \Sigma_R^{2\varepsilon} &= \{x \in \Omega_\#^\varepsilon : 1 + y_1 < \varepsilon(R - 1), 1 + y_2 > \varepsilon R\}. \end{aligned}$$

Как и в п. 4 §2, размер $R > 1$ выберем так, чтобы при учёте предложения 2.1 выполнить оценки

$$\frac{1}{\varepsilon^2} \left(\Lambda_1 - \frac{\delta_\#}{2} \right) \|\mathbf{u}_m^\varepsilon; L^2(\Sigma_R^{j\varepsilon})\|^2 \leq \|\nabla_x \mathbf{u}_m^\varepsilon; L^2(\Sigma_R^{j\varepsilon})\|^2, \quad j = 1, 2.$$

Кроме того, одномерное неравенство Фридрихса на отрезке $(0, \varepsilon) \ni z$ показывает, что

$$\|\mathbf{u}_m^\varepsilon; L^2(K_R^\varepsilon)\|^2 \leq \frac{\varepsilon^2}{\pi^2} \|\partial_z \mathbf{u}_m^\varepsilon; L^2(K_R^\varepsilon)\|^2.$$

Теперь равенства (5.5) и (5.6) влекут за собой соотношение

$$\begin{aligned}
 e^{2\sqrt{2}\kappa R}(\lambda_{m\#}^\varepsilon + \kappa^2\varepsilon^{-2}) &\geq e^{2\sqrt{2}\kappa R}(\lambda_{m\#}^\varepsilon + \kappa^2\varepsilon^{-2})\|u_{m\#}^\varepsilon; L^2(\Xi^\varepsilon(R))\|^2 \\
 &\geq (\lambda_{m\#}^\varepsilon + \kappa^2\varepsilon^{-2})\|\mathbf{u}_m^\varepsilon; L^2(\Xi^\varepsilon(R))\|^2 = \|\nabla_x \mathbf{u}_m^\varepsilon; L^2(\Omega_{\#}^\varepsilon)\|^2 \\
 &\quad - \lambda_{m\#}^\varepsilon\|\mathbf{u}_m^\varepsilon; L^2(\Omega_{\#}^\varepsilon \setminus \Xi^\varepsilon(R))\|^2 - \|\mathbf{u}_m^\varepsilon e^{-\frac{\kappa r}{\varepsilon}} \nabla_x e^{\frac{\kappa r}{\varepsilon}}; L^2(\Omega_{\#}^\varepsilon \setminus \Xi^\varepsilon(R))\|^2 \\
 &\geq \delta\|\nabla_x \mathbf{u}_m^\varepsilon; L^2(\Omega_{\#}^\varepsilon)\|^2 + \left((1-\delta)\frac{\pi^2}{\varepsilon^2} - \lambda_{m\#}^\varepsilon - \frac{\kappa^2}{\varepsilon^2} \right)\|\mathbf{u}_m^\varepsilon; L^2(K_R^\varepsilon)\|^2 \\
 &\quad + \left(\frac{1-\delta}{\varepsilon^2} \left(\Lambda_1 - \frac{\delta_{\#}}{2} \right) - \lambda_{m\#}^\varepsilon - \frac{\kappa^2}{\varepsilon^2} \right) \sum_{j=1,2} \|\mathbf{u}_m^\varepsilon; L^2(\Sigma_R^{j\varepsilon})\|^2.
 \end{aligned}$$

Осталось взять положительные $\delta = \delta_{m\#} > 0$ и $\kappa = \kappa_{m\#} > 0$ настолько малыми, чтобы коэффициенты при квадратах лебеговых норм функции \mathbf{u}_m^ε в правой части превзошли величину $c_{\delta,\kappa}\varepsilon^{-2}$ с некоторым множителем $c_{\delta,\kappa} > 0$. Теорема доказана. \square

Теперь применим минимальный принцип [30, теорема 10.2.1] к оператору задачи (2.13) в четверти слоя Ξ

$$M_1 = \min_{\Psi \in H^1(\Xi; \Upsilon)} \frac{\|\nabla_\xi \Psi; L^2(\Xi)\|^2}{\|\Psi; L^2(\Xi)\|^2}. \quad (5.7)$$

В качестве пробной возьмём функцию $\Xi \ni \xi \mapsto \Psi^\varepsilon(\xi) = \chi_{\#}(y)u_{1\#}^\varepsilon(x)$ (связь систем координат ξ и x указана формулой (2.12)). При учёте теоремы 5.1 имеем

$$\begin{aligned}
 \|\Psi^\varepsilon; L^2(\Xi)\|^2 &\geq \varepsilon^{-3}\|u_{1\#}^\varepsilon; L^2(\Omega_{\#}^\varepsilon)\|^2 - \varepsilon^{-3}\|(1 - \chi_{\#}^2)^{\frac{1}{2}}u_{1\#}^\varepsilon; L^2(\Omega_{\#}^\varepsilon)\|^2 \\
 &\geq \varepsilon^{-3} - c_0\varepsilon^{-3}e^{-\frac{2\kappa_{1\#}}{3\varepsilon}}, \\
 \|\nabla_\xi \Psi^\varepsilon; L^2(\Xi)\|^2 &\leq \varepsilon^{-1}\|\nabla_x u_{1\#}^\varepsilon; L^2(\Omega_{\#}^\varepsilon)\|^2 + \varepsilon^{-1}(2\chi_{\#}\nabla_x u_{1\#}^\varepsilon + u_{1\#}^\varepsilon\nabla_x \chi_{\#}, u_{1\#}^\varepsilon\nabla_x \chi_{\#})_{\Omega_{\#}^\varepsilon} \\
 &\leq \varepsilon^{-1}\lambda_{1\#}^\varepsilon + c_1\varepsilon^{-3}e^{-\frac{2\kappa_{1\#}}{3\varepsilon}}.
 \end{aligned}$$

Из этих оценок и равенства (5.7) выводим соотношение

$$\frac{M_1}{\varepsilon^2} \leq \frac{\lambda_{1\#}^\varepsilon + c_1\varepsilon^{-2}e^{-\frac{2\kappa_{1\#}}{3\varepsilon}}}{1 - c_0e^{-\frac{2\kappa_{\#}}{3\varepsilon}}} \leq \lambda_{1\#}^\varepsilon + C\varepsilon^{-2}e^{-\frac{2\kappa_{\#}}{3\varepsilon}}. \quad (5.8)$$

Формулы (5.3) и (5.8), а также проверяемое ниже неравенство (5.9) показывают, что в оценке (5.2) можно взять $n(\varepsilon) = 1$. Используя чётные и нечётные продолжения собственных функций $u_{1\#}^\varepsilon$ через сечения (3.38), на которых были назначены искусственные краевые условия Дирихле и Неймана, получаем асимптотику первых четырёх собственных чисел задачи (1.1)–(1.3) в цельной области Ω^ε — благодаря свойствам чётности/нечётности соответствующие собственные функции линейно независимы.

Теорема 5.2. *Для первых четырёх членов последовательности (1.8) собственных чисел задачи (1.1)–(1.3) в области (1.23) верны асимптотические формулы (1.25), причём для остатков $\tilde{\lambda}_k^\varepsilon$ верны оценки*

$$|\tilde{\lambda}_k^\varepsilon| = |\lambda_k^\varepsilon - \varepsilon^{-2}M_1| \leq c_{\#}\varepsilon^{-2}e^{-\frac{2\kappa_{\#}}{3\varepsilon}} \quad \text{при } \varepsilon \in (0, \varepsilon_{\#}] \quad \text{и } k = 1, 2, 3, 4,$$

где M_1 — первое собственное число задачи (2.13), а $c_{\#}$, $\kappa_{\#}$ и $\varepsilon_{\#}$ — некоторые положительные величины.

Доказательство. Осталось убедиться в том, что для второго собственного числа $\lambda_{2\#}^\varepsilon$ задачи (1.1)–(1.3) $_{\#}$ выполнено неравенство

$$\lambda_{2\#}^\varepsilon \geq \varepsilon^{-2}M_{\perp}, \quad (5.9)$$

при некотором $M_\perp \in (M_1, \Lambda_1)$. Предположим, что соотношение (5.9) нарушено, т.е. нашлась бесконечно малая положительная последовательность $\{\varepsilon_j\}_{j \in \mathbb{N}}$, для которой

$$\varepsilon_j^2 \lambda_{2\#}^{\varepsilon_j} \rightarrow M_1 \quad \text{при } j \rightarrow +\infty \quad (\text{или } \varepsilon_j \rightarrow +0). \quad (5.10)$$

Удалив при необходимости несколько членов последовательности, будем считать, что $\varepsilon_j^2 \lambda_{2\#}^{\varepsilon_j} \leq (M_1 + \Lambda_1)/2$ при всех $j \in \mathbb{N}$ и далее этот индекс не пишем.

По собственным функциям $u_{1\#}^\varepsilon$ и $u_{2\#}^\varepsilon$, подчинённым соотношениям

$$(u_{j\#}^\varepsilon, u_{k\#}^\varepsilon)_{\Omega_\#^\varepsilon} = \delta_{j,k}, \quad j, k = 1, 2,$$

определим функции на четверти слоя Ξ

$$w_{j\#}^\varepsilon(\xi) = \varepsilon^{\frac{3}{2}} \chi_\#(y) u_{j\#}^\varepsilon(x), \quad j = 1, 2.$$

Справедливы неравенства

$$\begin{aligned} |(w_{j\#}^\varepsilon, w_{k\#}^\varepsilon)_\Xi - \delta_{j,k}| &\leq c\varepsilon^{-2} e^{-\frac{\kappa_\#}{3\varepsilon}}, \\ |(\nabla_\xi w_{j\#}^\varepsilon, \nabla_\xi w_{k\#}^\varepsilon)_\Xi - \lambda_{j\#}^\varepsilon \delta_{j,k}| &\leq c\varepsilon^{-\frac{\kappa_\#}{3\varepsilon}}, \quad j, k = 1, 2. \end{aligned} \quad (5.11)$$

Первое вытекает непосредственно из оценки (5.4), а для вывода второго нужно дополнительно принять во внимание интегральное тождество

$$(\nabla_x u_{j\#}^\varepsilon, \nabla_x \psi^\varepsilon)_{\Omega_\#^\varepsilon} = \lambda_{j\#}^\varepsilon (u_{j\#}^\varepsilon, \psi^\varepsilon)_{\Omega_\#^\varepsilon} \quad (5.12)$$

с пробной функцией $\psi^\varepsilon = \chi_\#^2 u_{j\#}^\varepsilon \in H_0^1(\Omega_\#^\varepsilon; \Gamma_D^\varepsilon)$, которое, как обычно, следует превратить в равенство

$$\begin{aligned} (\nabla_x(\chi_\# u_{j\#}^\varepsilon), \nabla_x(\chi_\# u_{k\#}^\varepsilon))_{\Omega_\#^\varepsilon} - \lambda_{j\#}^\varepsilon (\chi_\# u_{j\#}^\varepsilon, \chi_\# u_{k\#}^\varepsilon)_{\Omega_\#^\varepsilon} \\ = (u_{j\#}^\varepsilon \nabla_x \chi_\#, \nabla_x(\chi_\# u_{k\#}^\varepsilon))_{\Omega_\#^\varepsilon} - (\chi_\# \nabla_x u_{j\#}^\varepsilon, u_{k\#}^\varepsilon \nabla_x \chi_\#)_{\Omega_\#^\varepsilon}. \end{aligned}$$

Перейдем к пределу при $\varepsilon \rightarrow +0$ в интегральном тождестве (5.12) с пробной функцией $\psi^\varepsilon(x) = \varepsilon^{\frac{1}{2}} \Psi(\xi)$, где $\Psi \in C_c^\infty(\Xi \cup \Theta)$. В результате для функций

$$w_{j\#}^0 = \lim_{\varepsilon \rightarrow +0} w_{j\#}^\varepsilon \quad \text{слабо в } H_0^1(\Xi; \Upsilon)$$

получим согласно формулам (5.3), (5.8), (5.10) и (5.11) соотношения

$$\begin{aligned} (\nabla_\xi w_{p\#}^0, \nabla_\xi \Psi)_\Xi &= M_1 (w_{p\#}^0, \Psi)_\Xi \quad \forall \Psi \in C_c^\infty(\Xi \cup \Theta), \quad p = j, k, \\ (w_{j\#}^0, w_{k\#}^0)_\Xi &= \delta_{j,k}, \quad j, k = 1, 2, \end{aligned}$$

невозможные ввиду простоты первого собственного числа M_1 . Обнаруженное противоречие означает выполнение неравенства (5.9). Теорема 5.2 доказана. \square

Все подготовлено для завершения рассуждений из конца п. 1 §5. Именно, на основании теоремы 5.2, соотношения (5.9) и связи (3.15) спектральных параметров заключаем, что при некотором, вообще говоря, малом $h > 0$ сегмент

$$[\varepsilon^2(M_1^{-1} - h), \varepsilon^2(M_1^{-1} + h)]$$

содержит единственное собственное число $\tau_{1\#}^\varepsilon$ оператора $\mathcal{A}_\#^\varepsilon$. Таким образом, соотношения (3.17) из второй части леммы 3.1, в которых положим $\delta^\varepsilon = c_1 \varepsilon^{-3} e^{-\frac{\kappa_{1\#}}{3\varepsilon}}$ и $\delta_*^\varepsilon = h\varepsilon^2$, доставляют оценку соболевской нормы разности собственной функции $u_{1\#}^\varepsilon$ и приближения к ней $U_{\#}^\varepsilon$ из формулы (5.1). Наконец, вспомнив о чётных и нечётных продолжениях собственной функции в четвертушке $\Omega_\#^\varepsilon$ на всю область Ω^ε (таковых всего четыре), формулируем полученный результат.

Теорема 5.3. Для первых четырёх собственных функций задачи (1.1)–(1.3) в многограннике (1.23) справедливы асимптотические формулы

$$\begin{aligned} & \varepsilon \left\| \nabla_x u_k^\varepsilon - \frac{1}{2} \varepsilon^{-\frac{3}{2}} \sum_{\alpha, \vartheta = \pm} C_{\alpha\vartheta}^k \chi_{\alpha\vartheta} \nabla_x V_1; L^2(\Omega^\varepsilon) \right\| \\ & + \left\| u_k^\varepsilon - \frac{1}{2} \varepsilon^{-\frac{3}{2}} \sum_{\alpha, \vartheta = \pm} C_{\alpha\vartheta}^k \chi_{\alpha\vartheta} V_1; L^2(\Omega^\varepsilon) \right\| \leq C_0 \varepsilon^{-4} e^{-\frac{\kappa}{3\varepsilon}} \quad \text{при } \varepsilon \in (0, \varepsilon_0]. \end{aligned}$$

Здесь $\chi_{\alpha\vartheta}(y) = \chi(|y - P^{\alpha\vartheta}|)$ — срезающие функции, $P^{\alpha\vartheta}$ — вершины (1.24) квадрата \mathbb{Q}_1 , $V_1 \in H_0^1(\Xi; \Upsilon)$ — первая собственная функция задачи (2.13) в четверти слоя (1.20), зависящая от систем растянутых декартовых координат $\xi^{\alpha\vartheta} = \varepsilon^{-1}(y - P^{\alpha\vartheta}, z)$, повернутых надлежащим образом (см. формулу (2.12) в случае $\alpha = \vartheta = -1$). Кроме того, $C_{\alpha\vartheta}^1 = 1$, а остальные столбцы коэффициентов $C^k = (C_{++}^k, C_{-+}^k, C_{+-}^k, C_{--}^k)$ берутся из списка

$$(1, -1, -1, 1), \quad (-1, 1, -1, 1), \quad (-1, -1, 1, 1).$$

5.3. Другие асимптотические серии собственных чисел. Теоремы 5.2 и 5.3 не предоставляют полную информацию об асимптотике спектра задачи (1.1)–(1.3) в многограннике (1.23). На первый взгляд кажется, что асимптотические процедуры из предыдущих параграфов позволяют обнаружить серии собственных чисел с иными устойчивыми асимптотиками. В самом деле, при помощи выкладок и рассуждений из п. 3 §3 можно проверить следующее утверждение.

Теорема 5.4. Для любых $p, q \in \mathbb{N}$ найдутся такие положительные величины $c_{(p,q)}$ и $\varepsilon_{(p,q)}$, а также номер $n_{(p,q)}(\varepsilon) \in \mathbb{N}$, что для собственного числа задачи (1.1)–(1.3) в многограннике (1.23) выполнено соотношение

$$\left| \lambda_{n_{(p,q)}(\varepsilon)}^\varepsilon - \varepsilon^{-2} \pi^2 - \mu_{(p,q)} \right| \leq c_{(p,q)} \varepsilon \quad \text{при } \varepsilon \in (0, \varepsilon_{(p,q)}]. \quad (5.13)$$

Здесь $\mu_{(p,q)} = \pi^2(p^2 + q^2)/4$ собственные числа задачи Дирихле для оператора Лапласа в квадрате \square_1 .

Подчеркнём, что условия Дирихле на границе $\partial\square_1$ вызваны наклоном всех четырёх боковых граней и отсутствием порогового резонанса в задаче (2.1)–(2.3)_N (ср. п. 5, §4). Вместе с тем, как и в теореме 4.3, собственные числа в формуле (5.13), имея «большие» номера $n_{(p,q)}(\varepsilon)$, относятся к среднечастотному диапазону спектра.

Можно попытаться получить формальные асимптотические представления собственных чисел $\lambda_5^\varepsilon, \lambda_6^\varepsilon, \lambda_7^\varepsilon, \dots$ при помощи асимптотической процедуры из п. 1 §4. Обыкновенные дифференциальные уравнения на четырёх отрезках $(-1, 1)$ выводятся по прежней схеме, но обоснованно назначить краевые условия или условия сопряжения в точках $\mathcal{P}^{\pm\vartheta}$, $\vartheta = \pm$ в этой статье не удаётся потому, что автор не знает реализуется ли нет пороговый резонанс в задаче (2.13) на четверти слоя (1.20). Если он отсутствует, то упомянутые уравнения снабжаются условиями Дирихле при $y_k = \pm 1$, однако возникновение резонанса может породить, например, классические условия сопряжения Кирхгофа в вершинах (1.24) (ср., например, [41]), которые (условия) связывают дифференциальные уравнения на сторонах (3.33) квадрата \square_1 в единую спектральную задачу.

Следует особо подчеркнуть, что для задачи (2.13) при $M = \Lambda_1$ в четверти слоя (1.20) со скошенными боковыми сторонами само понятие порогового резонанса требует уточнения, так как неизвестно асимптотическое поведение на бесконечности её решения: метод Фурье не работает по понятной причине, а известные результаты о поведении решений в слоевидных областях (см., например, [48] и др.) относятся в основном к задаче Неймана и не обслуживают возникшую в данной работе специфическую смешанную краевую задачу.

СПИСОК ЛИТЕРАТУРЫ

1. С.А. Назаров. *Околовершинная локализация собственных функций задачи Дирихле в тонких многогранниках* // Сиб. мат. ж. **54**: 3, 655–672 (2013).
2. L. Friedlander, M. Solomyak. *On the spectrum of narrow periodic waveguides* // Russ. J. Math. Phys. **15**:2, 238–242 (2008).
3. L. Friedlander, M. Solomyak. *On the spectrum of the Dirichlet Laplacian in a narrow strip* // Isr. J. Math. **170**, 337–354 (2009).
4. D. Borisov, P. Freitas. *Singular asymptotic expansions for Dirichlet eigenvalues and eigenfunctions on thin planar domains* // Ann. Inst. Henri Poincaré. Anal. Non Linéaire **26**:2, 547–560 (2009).
5. D. Borisov, P. Freitas. *Asymptotics of Dirichlet eigenvalues and eigenfunctions of the Laplacian on thin domains in \mathbb{R}^d* // J. Funct. Anal. **258**:3, 893–912 (2010).
6. S.A. Nazarov, E. Perez, J. Taskinen. *Localization effect for Dirichlet eigenfunctions in thin non-smooth domains* // Trans. Am. Math. Soc. **368**:7, 4787–4829 (2016).
7. С.А. Назаров. *Дискретный спектр коленчатых, разветвляющихся и периодических волноводов* // Алгебра Анал. **23**:2, 206–247 (2011).
8. S.A. Nazarov, A.V. Shanin. *Trapped modes in angular joints of 2D waveguides* // Appl. Anal. **93**:3, 572–582 (2014).
9. M. Dauge, N. Raymond. *Plane waveguides with corners in the small angle limit* // J. Math. Phys. **53**:12, 123529 (2012).
10. M. Dauge, Y. Lafranche, T. Ourmières-Bonafos. *Dirichlet spectrum of the Fichera layer* // Integral Equations Oper. Theory **90**:5, 60 (2018).
11. F.L. Bakharev, A.I. Nazarov. *Existence of the discrete spectrum in the Fichera layers and crosses of arbitrary dimension* // J. Funct. Anal. **281**:4, 109071 (2021).
12. С.А. Назаров. *Лакуны в спектре тонкостенного прямоугольного бесконечного короба Дирихле с периодическим семейством перегородок* // Мат. сб. **214**:7, 91–133 (2023).
13. P. Exner, H. Kovarik. *Quantum waveguides*. Cham: Springer. 2015.
14. О.А. Ладыженская. *Краевые задачи математической физики* М.: Наука. 1973.
15. Ж.-Л. Лионс, Э. Мадженес. *Неоднородные граничные задачи и их приложения*. М.: Мир. 1971.
16. И.В. Камоцкий, С.А. Назаров. *О собственных функциях, локализованных около кромки тонкой области* // Проблемы матем. анализа **19**, 105–148 (1999).
17. G. Cardone, T. Durante, S.A. Nazarov. *The localization effect for eigenfunctions of the mixed boundary value problem in a thin cylinder with distorted ends* // SIAM J. Math. Anal. **42**:6, 2581–2609 (2010).
18. A. Delitsyn, D.S. Grebenkov. *Mode matching methods for spectral and scattering problems* // Q. J. Mech. Appl. Math. **71**:4, 537–580 (2018).
19. D.S. Grebenkov, B.T. Nguyen. *Geometrical structure of laplacian eigenfunctions* // SIAM Rev. **55**:4, 601–667 (2013).
20. С.А. Назаров. *Двумерные асимптотические модели тонких цилиндрических упругих прокладок* // Диффер. уравн. **58**:12, 1666–1682 (2022).
21. Г. Фикера. *Асимптотическое поведение электрического поля и плотности электрического заряда в окрестности сингулярных точек проводящей поверхности* // Усп. мат. наук **30**:3(183), 105–124 (1975).
22. W.G. Mazja, S. Nazarov, B. Plamenevskij. *Asymptotische Theorie elliptischer Randwertaufgaben in singular gestörten Gebieten I. Störungen isolierter Randsingularitäten*. Akademie-Verlag, Berlin (1991).
23. V.A. Kozlov, V.G. Maz'ya, A.B. Movchan. *Asymptotic analysis of a mixed boundary value problem in a multistructure* // Asymptotic Anal. **8**:2, 105–143 (1994).
24. V.A. Kozlov, V.G. Maz'ya, A.B. Movchan. *Asymptotic analysis of fields in multi-structures*. Oxford: Clarendon Press. 1999.
25. С.А. Назаров. *Асимптотическая теория тонких пластин и стержней. Понижение размерности и интегральные оценки*. Новосибирск: Научная книга. 2002.

26. F. Rellich. *Über das asymptotische Verhalten der Lösungen von $\Delta u + \lambda u = 0$ in unendlichen Gebieten* // Jahresber. Dtsch. Math.-Ver. **53**, 57–65 (1943).
27. P. Exner, P. Šeba, P. Štoviček. *On existence of a bound state in an L-shaped waveguide* // Czech. J. Phys. **39**, 1181–1191 (1989).
28. S.A. Nazarov, V.A. Plamenevsky. *Elliptic problems in domains with piecewise smooth boundaries*. Berlin, New York: Walter de Gruyter. 1994.
29. A. Henrot. *Extremum problems for eigenvalues of elliptic operators*. Basel: Birkhäuser. 2006.
30. М.Ш. Бирман, М.З. Соломяк. *Спектральная теория самосопряженных операторов в гильбертовом пространстве*. Л.: изд-во Ленингр. ун-та. 1980.
31. С.А. Назаров. *Асимптотика собственных значений задачи Дирихле на скошенном T-образном волноводе* // Ж. вычисл. мат. мат. физ. **54**:5, 793–814 (2014).
32. Ф.Л. Бахарев, С.А. Назаров. *Критерии отсутствия и наличия ограниченных решений на пороге непрерывного спектра в объединении квантовых волноводов* // Алгебра анализ. **32**:6, 1–23 (2020).
33. D. Cioranescu, J. Saint Jean Paulin. *Homogenization of Reticulated Structures*. Springer, Berlin (1999).
34. P.G. Ciarle. *Mathematical Elasticity. Vol 2: Theory of Plates*. North Holland, Amsterdam (1997).
35. J. Sanchez Hubert, E. Sanchez Palencia. *Vibrations and Coupling of Continuous Systems. Asymptotic Methods*. Berlin: Springer-Verlag. 1989.
36. G. Panasenko. *Multi-scale modelling for structures and composites*. Dordrecht: Springer. 2005.
37. Т. Като. *Теория возмущений линейных операторов*. М.: Мир. 1972.
38. L. Bers, F. John, M. Schechter. *Partial differential equations*. New York: Interscience. 1964.
39. S. Molchanov, B. Vainberg. *Scattering solutions in networks of thin fibers: small diameter asymptotics* // Commun. Math. Phys. **273**:2, 533–559 (2007).
40. С.А. Назаров. *Пороговые резонансы и виртуальные уровни в спектре цилиндрических и периодических волноводов* // Изв. рос. акад. наук, сер. мат. **84**:6, 73–130 (2020).
41. D. Grieser. *Spectra of graph neighborhoods and scattering* // Proc. Lond. Math. Soc. (3) **97**:3, 718–752 (2008).
42. K. Pankrashkin. *Eigenvalue inequalities and absence of threshold resonances for waveguide junctions* // J. Math. Anal. Appl. **449**:1, 907–925 (2017).
43. В.А. Кондратьев. *Краевые задачи для эллиптических уравнений в областях с коническими или угловыми точками* // Труды Московск. матем. общества. **16**: 219–292 (1967).
44. V.A. Kozlov, V.G. Maz'ya, J. Rossmann. *Elliptic Boundary Value Problems in Domains with Point Singularities*. Amer. Math. Soc., Providence, R.I. (1997).
45. М.И. Вишик, Л.А. Люстерник. *Регулярное вырождение и пограничный слой для линейных дифференциальных уравнений с малым параметром* // Усп. мат. наук **12**:5, 3–122 (1953).
46. М.Д. Ван Дайк. *Методы возмущений в механике жидкостей*. М.: Мир. 1967.
47. А.М. Ильин. *Согласование асимптотических разложений решений краевых задач*. М.: Наука. 1989.
48. С.А. Назаров. *Асимптотика решения краевой задачи в тонком цилиндре с негладкой боковой поверхностью* // Изв. рос. акад. наук, сер. мат. **57**:1, 202–239 (1993).

Сергей Александрович Назаров,
Институт проблем машиноведения РАН,
Большой проспект В.О., д. 61
199178, г. Санкт-Петербург, Россия
E-mail: srgnazarov@yahoo.co.uk